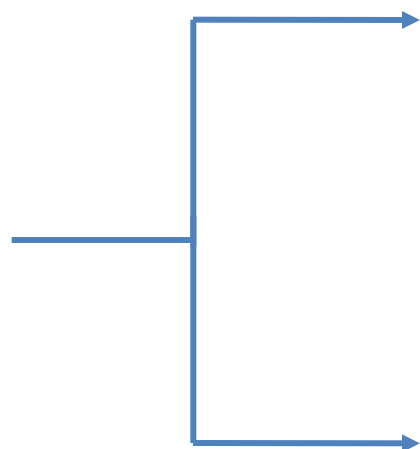


Catalisi di Polimerizzazione¹

Sintesi di
nuovi polimeri



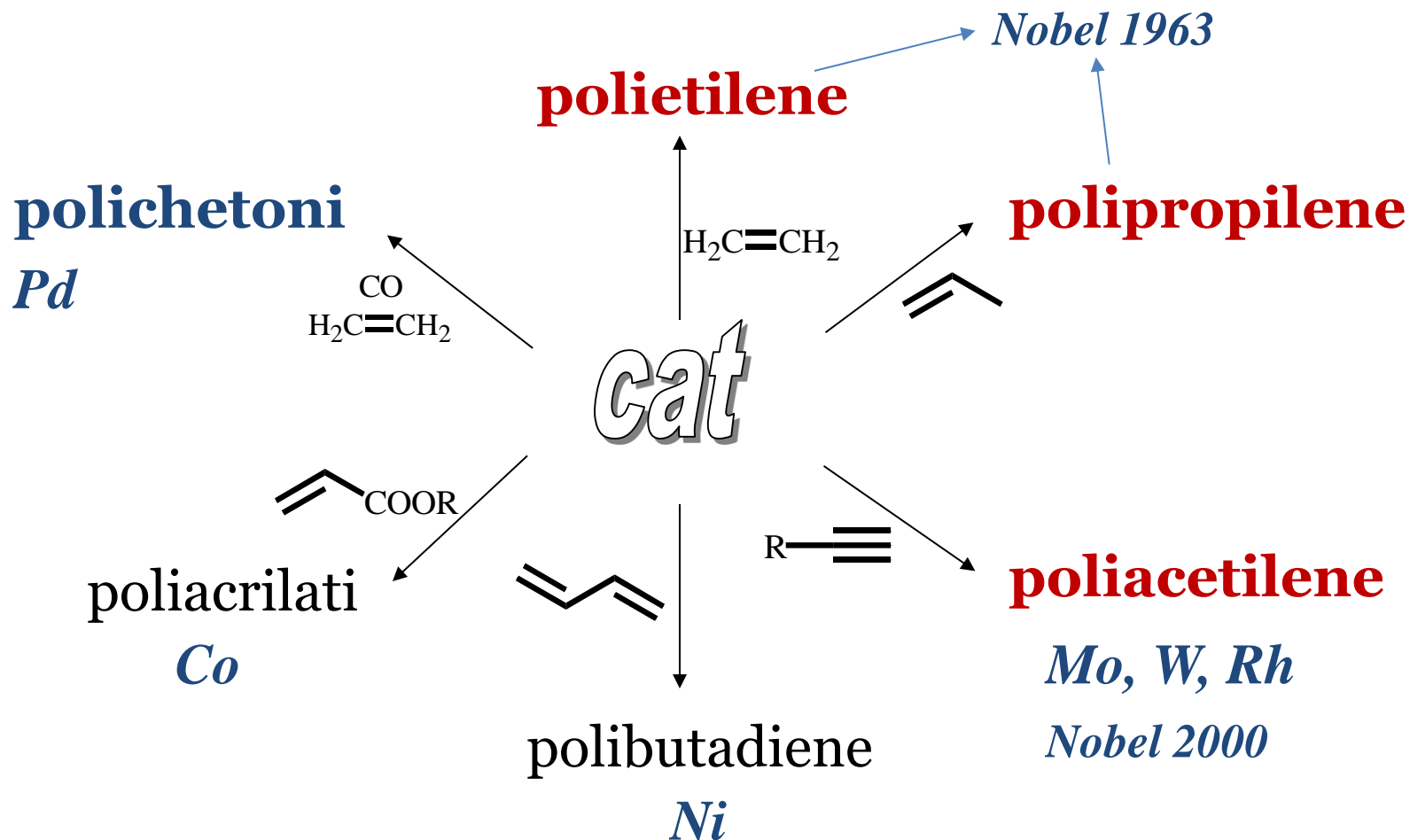
Progettazione di **nuovi monomeri**
Sintesi organiche multi-
stadio

Sviluppo di **nuovi catalizzatori** che possono
polimerizzare **monomeri già noti, semplici**, in modo
nuovo

Polimerizzazione di precisione

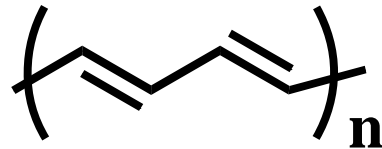
¹G. Chen, X. S. Ma, Z. Guan *J. Am. Chem. Soc.* 2003, 125, 6697.

Catalisi di polimerizzazione¹



¹S. Kobayashi, *Catalysis in Precision Polymerisation* 1997, Ed. Wiley.

Polyacetylene and substituted polyacetylene

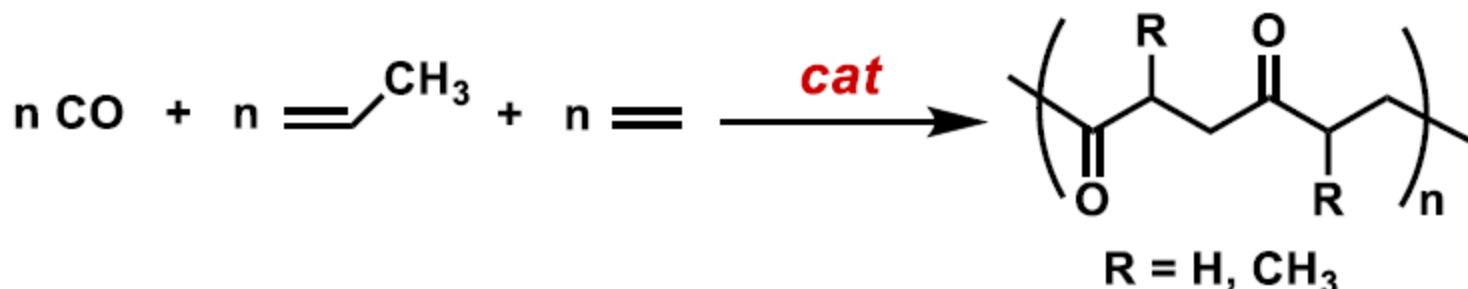


The polymers are featured by **conjugated C-C** double bonds. Thus, they show peculiar properties not found in polyolefins. The most important is the conductivity of electricity.

Polyacetylene is a **black solid**, **unstable** in air. It behaves like a **semiconductor**, but when properly **doped** with AsF_5 or I_2 it shows the **conductivity** like a metal.

Substituted polyacetylenes have different **colors** depending on the number and the nature of the substituents; they are **soluble** in common organic solvents, they are **stable** in air for long time and they are **insulators**.

CO/terminal alkene copolymerization



Commercialized by Shell Chemicals

Drent, E. et al. *J. Organomet. Chem. Soc.* **1991**, 417, 235; Drent, E. et al. *Chem. Rev.*, **1996**, 96, 663; Alperwicz, N., *Chem. Week.* **1995**, 22.

Innovative engineering plastics we have dreamed of

POKETONE is a new eco-friendly thermoplastic made of CO and olefins. With its unique balance of excellent properties, it will bring you various innovations for diverse applications.



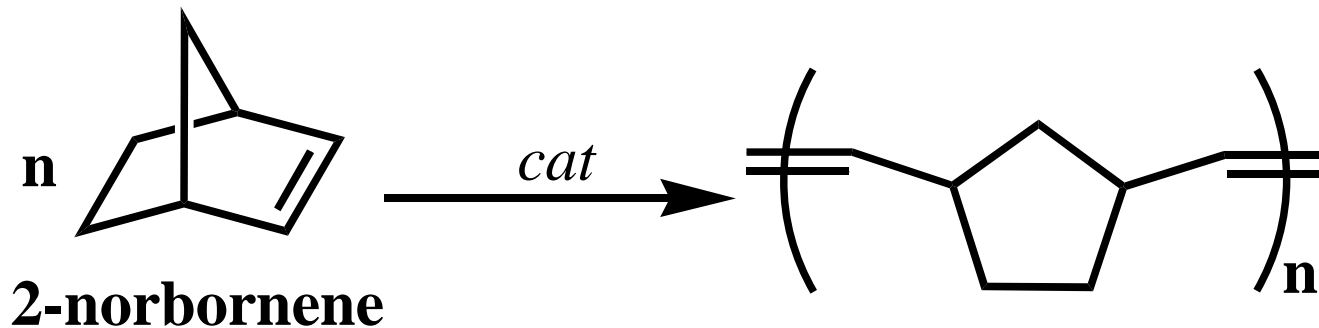
Commercialized by Hyosung

http://www.poly-ketone.com/utl/web/mediadownload.do?subpath=/download/catalogEn/poketone_catalogue2017_en.pdf

Ring-opening metathesis polymerization

ROMP

A true success story



*Polymerization with retaining of the
functional groups.*

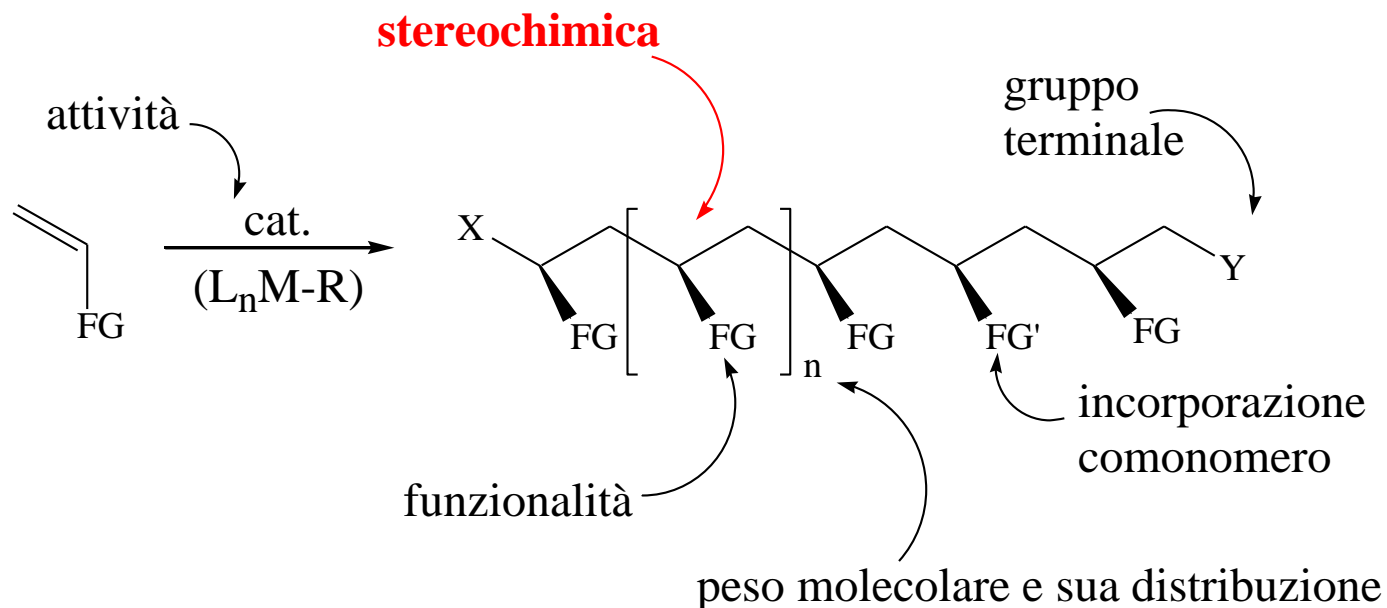
Metodi di polimerizzazione¹

Radicalica

Anionica

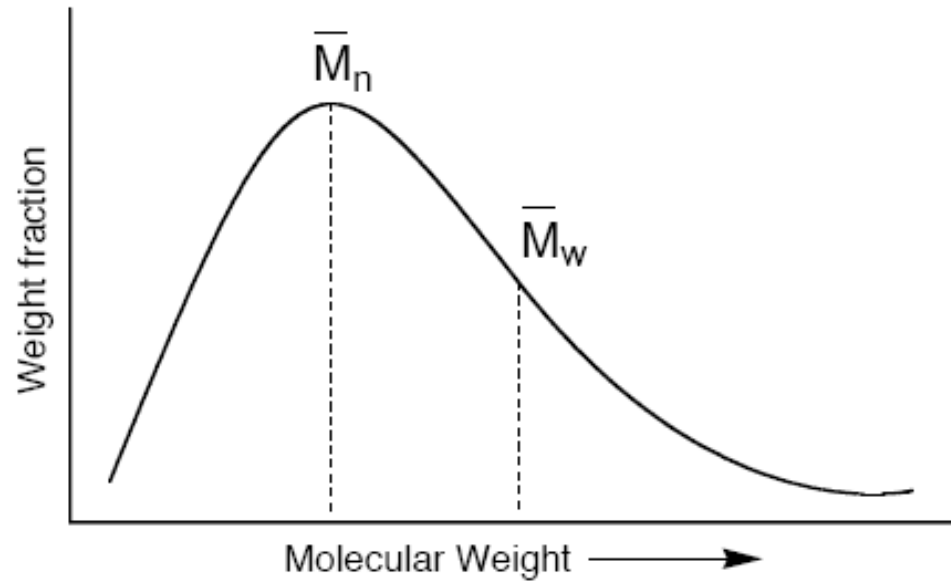
Cationica

Coordinativa



¹G. W. Coates et al. *Angew. Chem. Int. Ed.* 2002, 41, 2236.

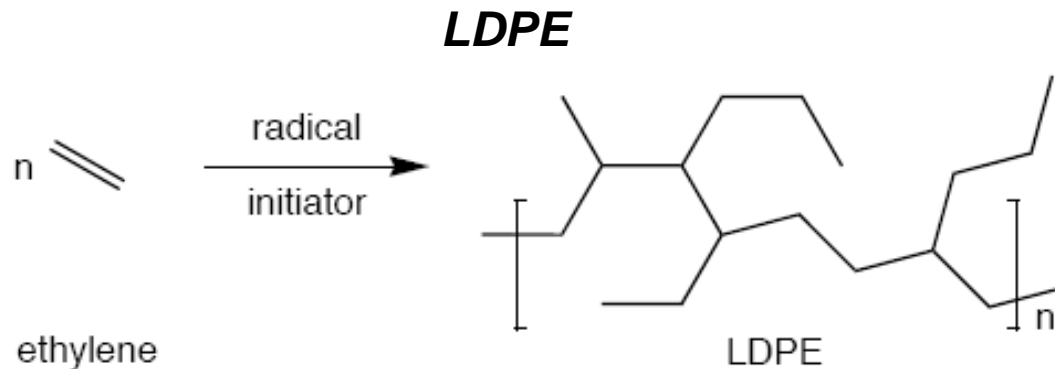
Molecular weight distribution



- In a polydisperse polymer, $M_w \geq M_n$
- The polydispersity and breadth of plot, has bearing on the mechanism of polymerization and the properties of the resulting polymer

Kind of polyolefins

	LLDPE	LDPE	HDPE	UHMWPE	iPP
Density (g cm^{-3})	0.90-0.94	0.91-0.94	0.94	0.930-0.935	0.88-0.92
Melting point ($^{\circ}\text{C}$)	100-125	98-115	125-132	130-136	160-166
Cristallinity (%)	22-55	30-54	55-77	39-75	30-60



- LDPE: Low density polyethylene
- Highly branched material
- Properties and usage:
Stretchable before tearing
Used for flexible plastic bags
Recycled material: trash bags, grocery sacks



LDPE

Worldwide production of polyolefins in 2005 (10^6 ton/year)

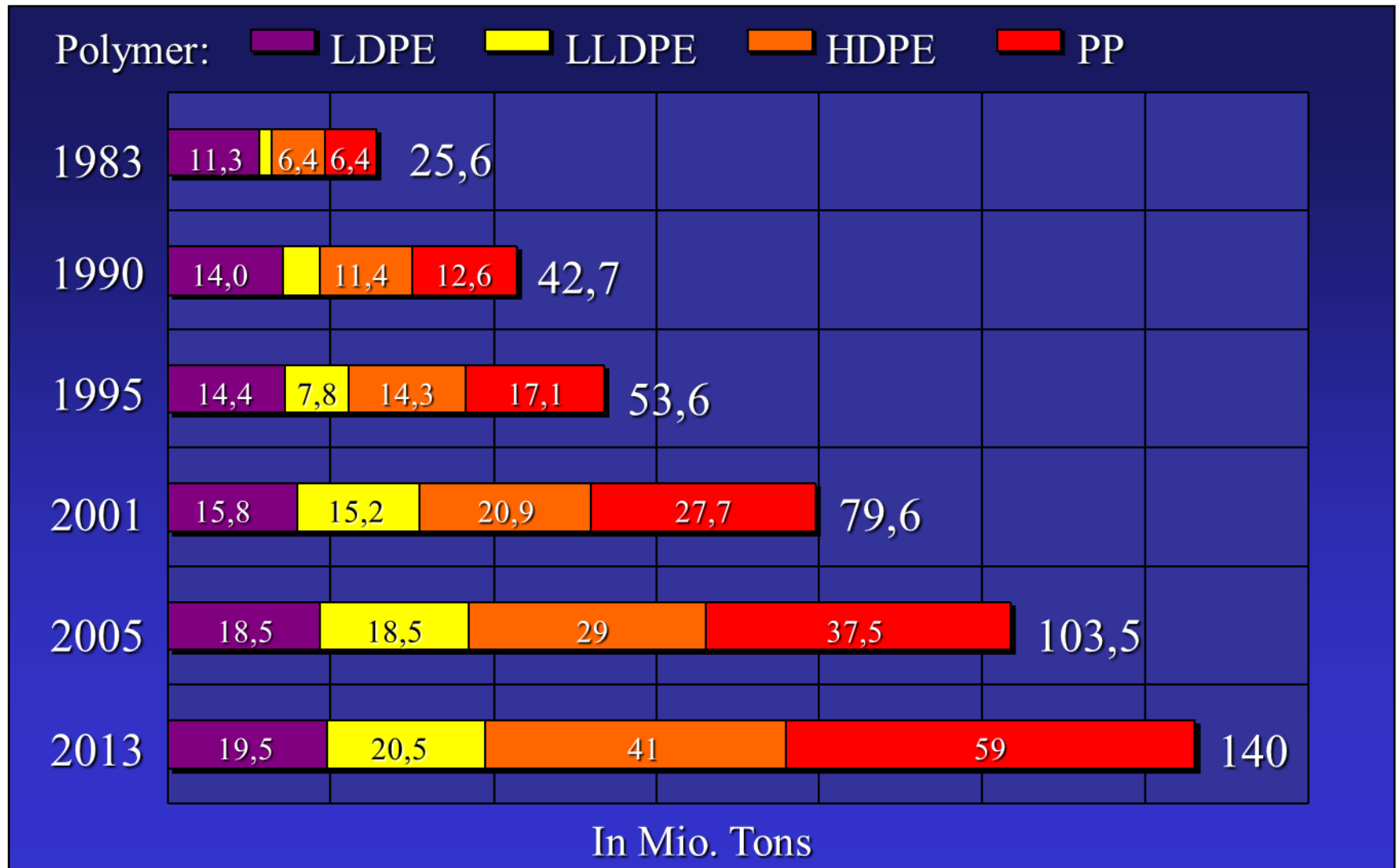


Total production in 2010: $120 \cdot 10^6$
ton.*

W. Kaminsky *Macromol. Chem. Phys.* **2008**, *209*, 459.

* Barzan, C.; Gianolio, D.; Groppo, E.; Lamberti, C.; Monteil, V.; Quadrelli, E. A.; Bordiga, S. *Chem.-Eur. J.* **2013**, *19*, 17277.

Produzione mondiale di poliolefine¹ (10⁶ ton)



¹W. Kaminsky, *comunicazione personale*.

Polimerizzazione Coordinativa: tre date importanti.

1953. Prima sintesi del **POLIETILENE** per via catalitica con catalizzatori attivi in condizioni blande. **Ziegler**.
1954. Prima sintesi del **POLIPROPILENE STEREOREGOLARE**. Viene definito il principio di POLIMERIZZAZIONE STEREOSPECIFICA. **Natta**.
- 1963. Premio Nobel per la Chimica
a Ziegler e Natta***

Sintesi di poliolefine

Catalizzatori di
Ziegler Natta

1950

Catalizzatori
eterogenei

Catalizzatori a
base di **Ti o V**

Catalizzatori
metallocenici

1980

Catalizzatori
omogenei

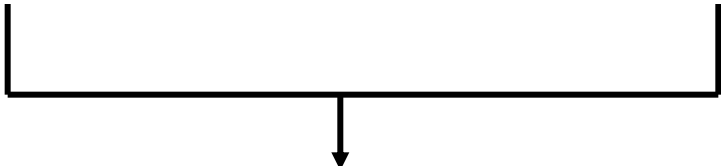
Catalizzatori a
base di **Ti o Zr**

Catalizzatori di
Brookhart

1995

Catalizzatori
omogenei

Catalizzatori a
base di **Fe o Co
o Ni o Pd**



*early transition
metals*

*late transition
metals*

Il sistema catalitico di Ziegler – Natta¹

Catalizzatori eterogenei:

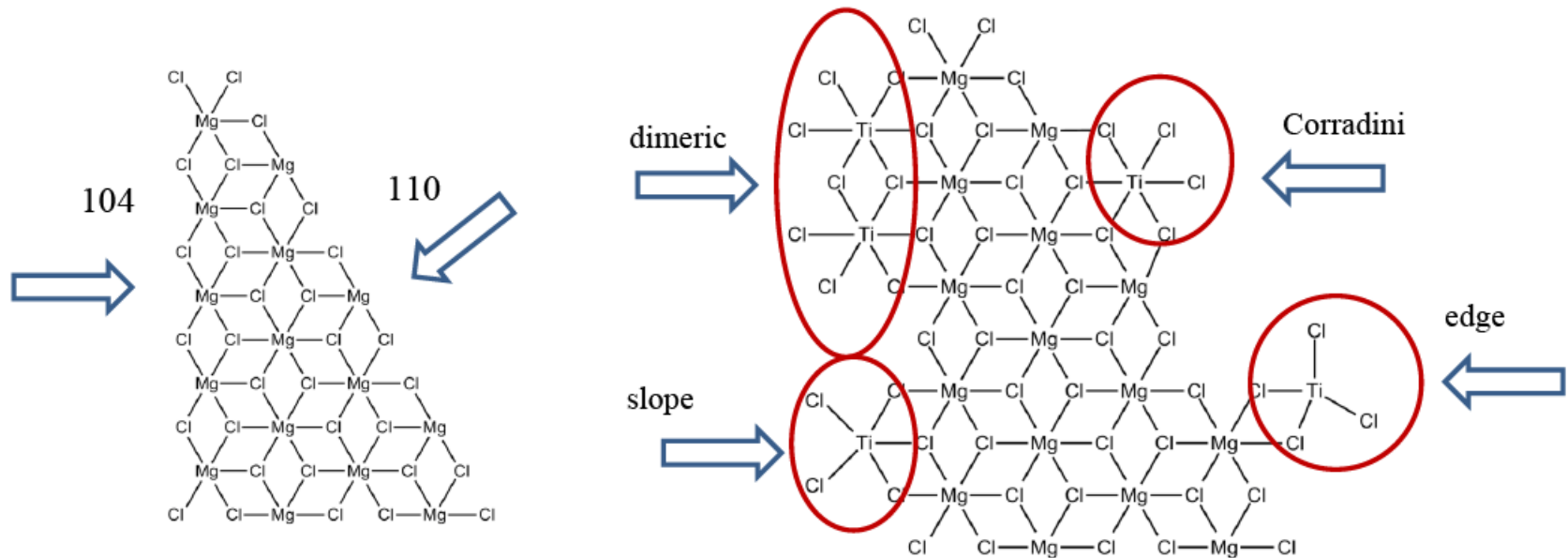


R = Et, *i*-But

P_{etilene} ≈ 1 atm;

T ≤ 0°C

Processo molto esotermico:
93.6 kJ/mol.



¹T. Masuda, *Catalysis in Precision Polymerisation* 1997, Ed. Wiley, pg. 18.

Meccanismo di polimerizzazione

Stadio di iniziazione

k_i

- ❖ formazione della specie attiva;
- ❖ reazione con le prime unità monomeriche;

Stadio di propagazione

k_p

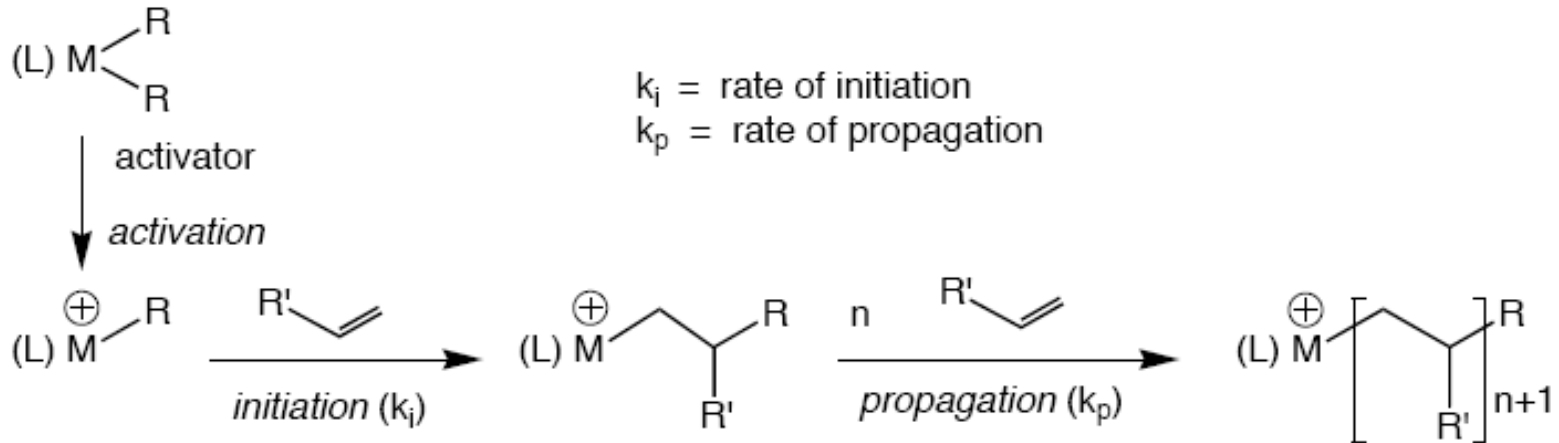
- ❖ crescita della catena polimerica sul centro metallico;

Stadio di terminazione

k_t

- ❖ interruzione della crescita della catena polimerica;
- ❖ riformazione della specie attiva.

Living polymerization: A special case



- Initiator and intermediates are stable under reaction conditions
- There is no chain termination
- $k_i \geq k_p$,

This means that the rate of initiation is greater than rate of propagation and that all the metal centers are initiated before propagation takes place

- Polymers with narrow molecular weight distributions are obtained

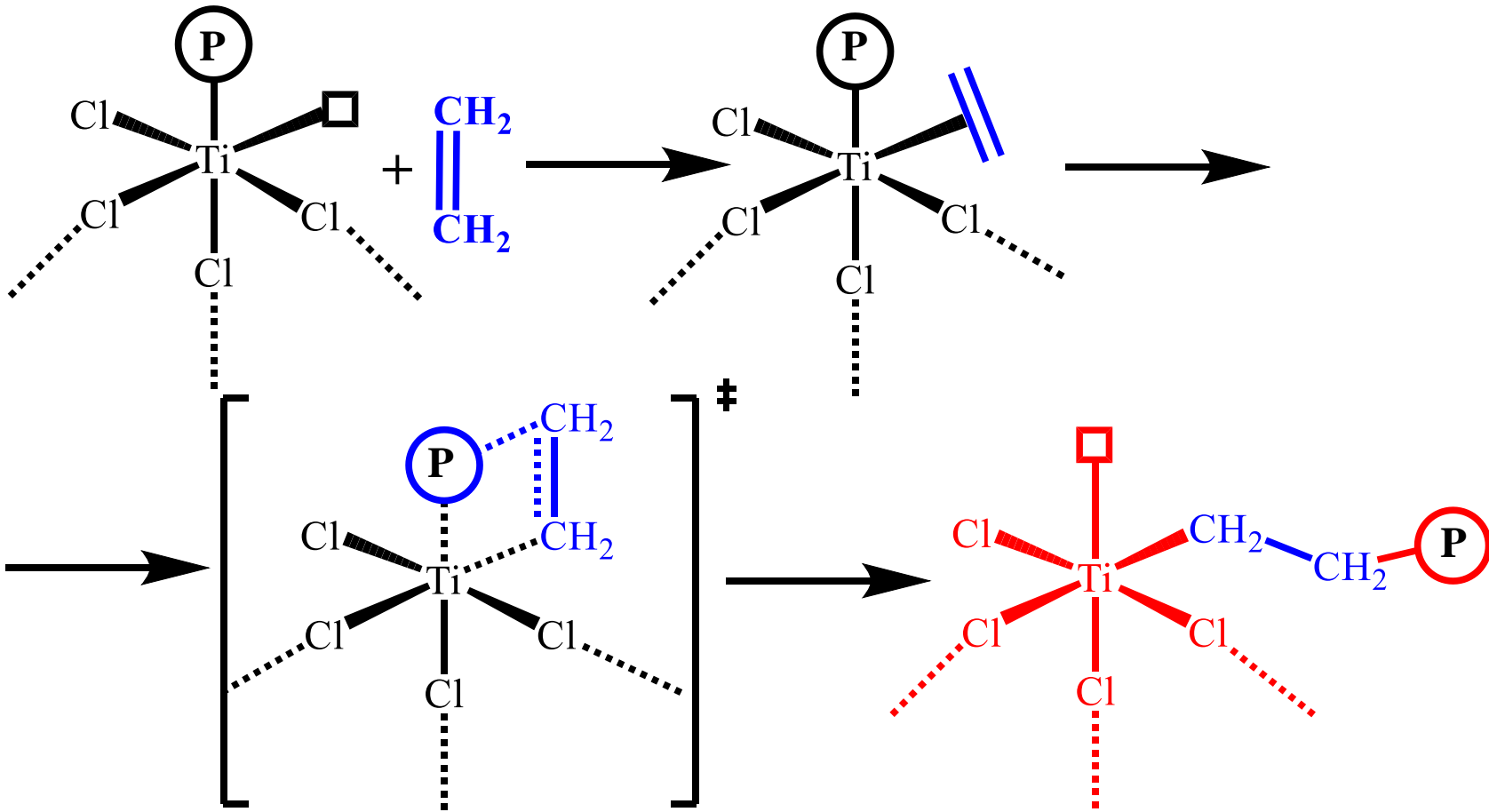
Meccanismo di polimerizzazione

Stadio di iniziazione



Meccanismo di polimerizzazione: (Cossee-Arlman)

Stadio di propagazione

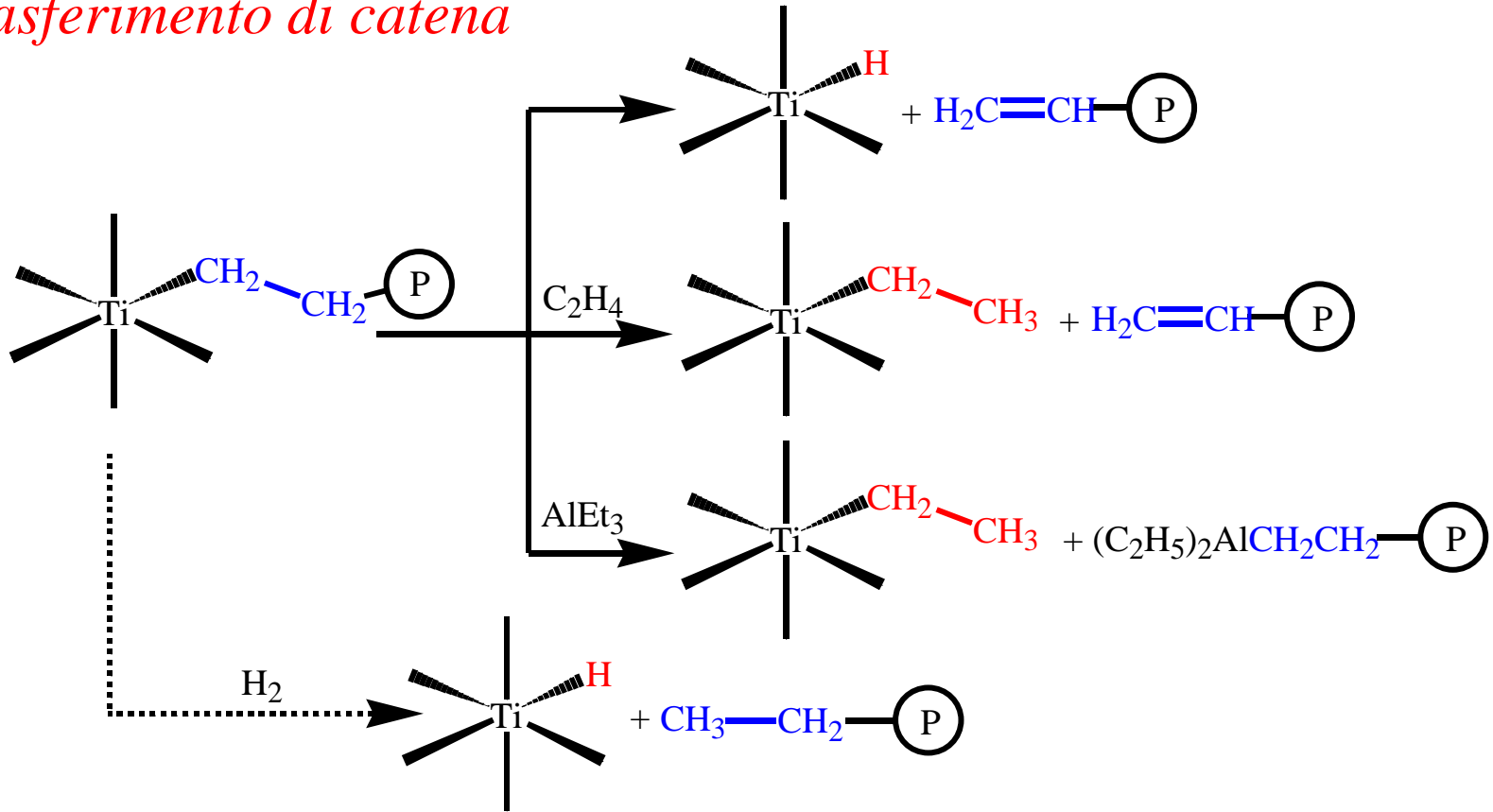


(P) = catena polimerica in crescita

$$v = k_p [C^*][M]$$

Meccanismo di polimerizzazione

*Stadio di terminazione:
trasferimento di catena*

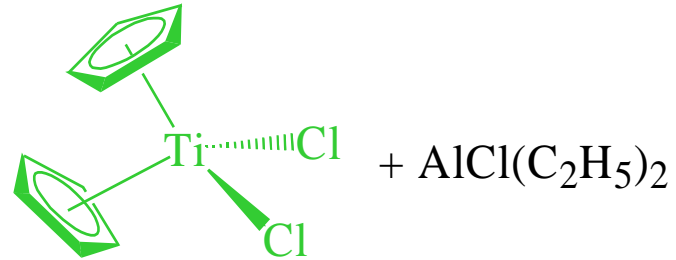


Limiti dei catalizzatori Ziegler Natta

- ❖ bassa percentuale di siti attivi: **1 – 20 % di Ti**;
- ❖ **5 – 50 ppm di Cl₂** derivante dal supporto MgCl₂ rimangono nel polimero, con relativi fenomeni di corrosione nella lavorazione del polimero stesso;
- ❖ solo **alcuni alcheni terminali** vengono copolimerizzati con l'etilene, ma in modo **non random**;
- ❖ nel polimero rimane il **3 – 4 % di oligomeri**, che a lungo andare vengono rilasciati;
- ❖ difficoltà di **controllare la microstruttura** delle macromolecole.

Catalizzatore **SOLUBILE**

1957



The “**Metallocene Revolution**”

1980

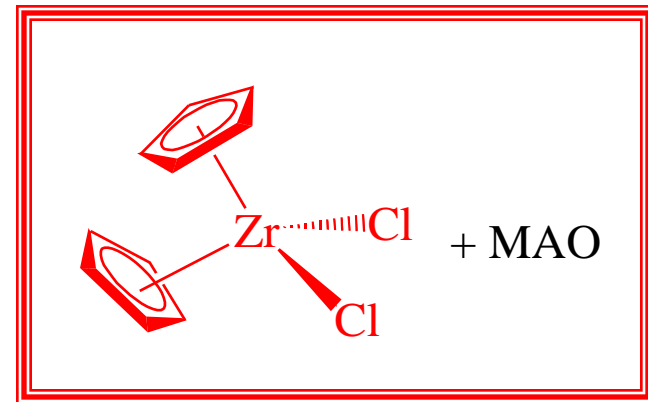
Kaminsky e Sinn

Catalizzatori **SOLUBILI**

↓
STRUTTURA del catalizzatore

↓
MECCANISMO della polimerizzazione

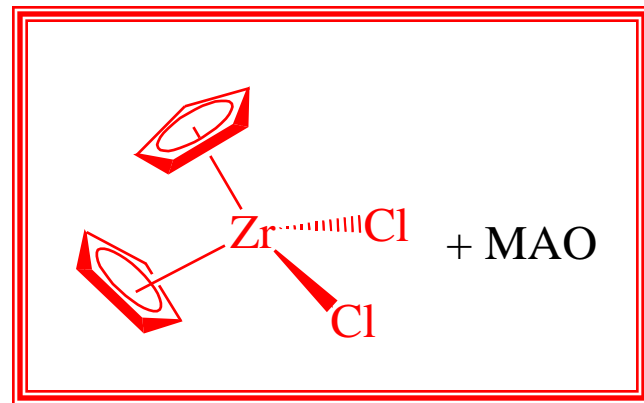
↓
STRUTTURA e PROPRIETA' del polimero



The “Metallocene Revolution”¹

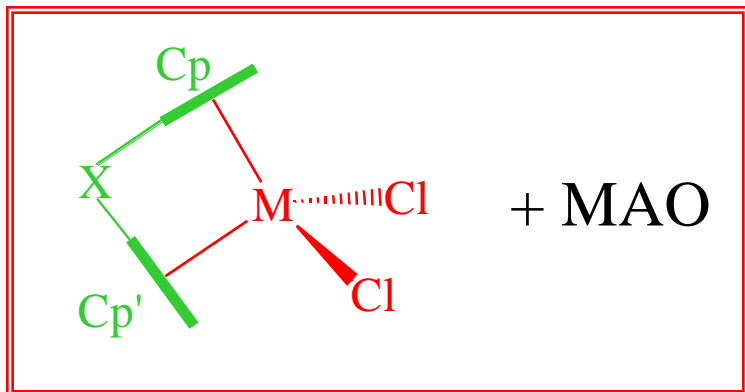
Caratteristiche:

- ❖ **catalizzatori omogenei**: 100 volte più attivi dei convenzionali Ziegler-Natta (300 t PE/g Zr h);
- ❖ promuovono la **polimerizzazione stereospecifica** di α -olefine prochirali;
- ❖ producono poliolefine con una stretta distribuzione dei pesi molecolari: **Single Site Catalysts**;
- ❖ si possono ottenere poliolefine con **ramificazioni** di diversa lunghezza regolarmente distribuite lungo la catena polimerica;
- ❖ possono venire **eterogeneizzati**.



¹H. G. Halt et al., *Chem. Rev.* **2000**, *100*, 1205.

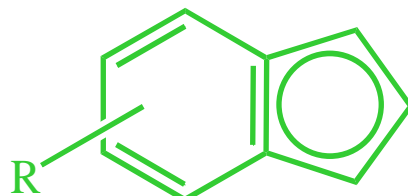
La Versatilità dei Catalizzatori metallocenici



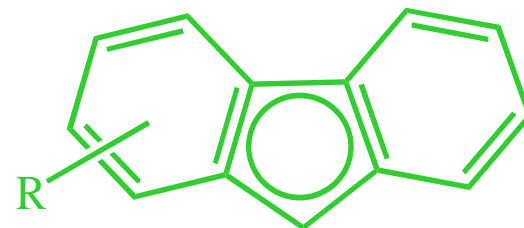
$M = Ti, Zr, Hf$

$Cp = Cp'$ o $Cp \neq Cp'$

Cp e $Cp' =$



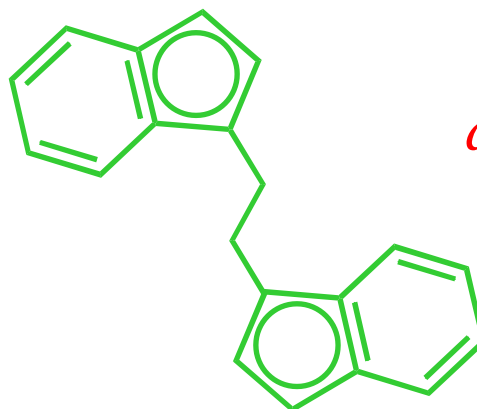
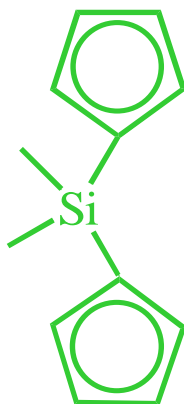
indenile



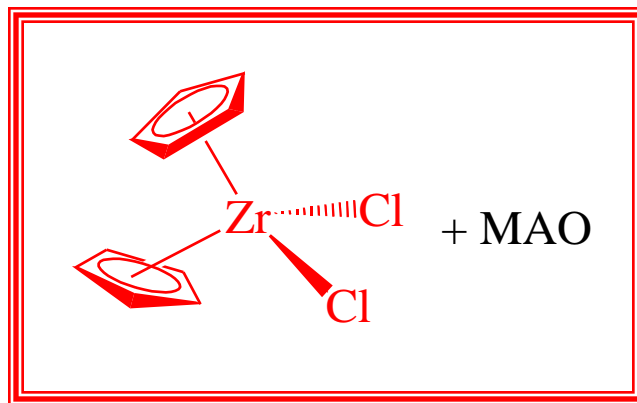
fluorene

$Cp-X-Cp' =$

$X = CH_2CH_2, R_2Si,$
 R_2C



ansa-metalloceni

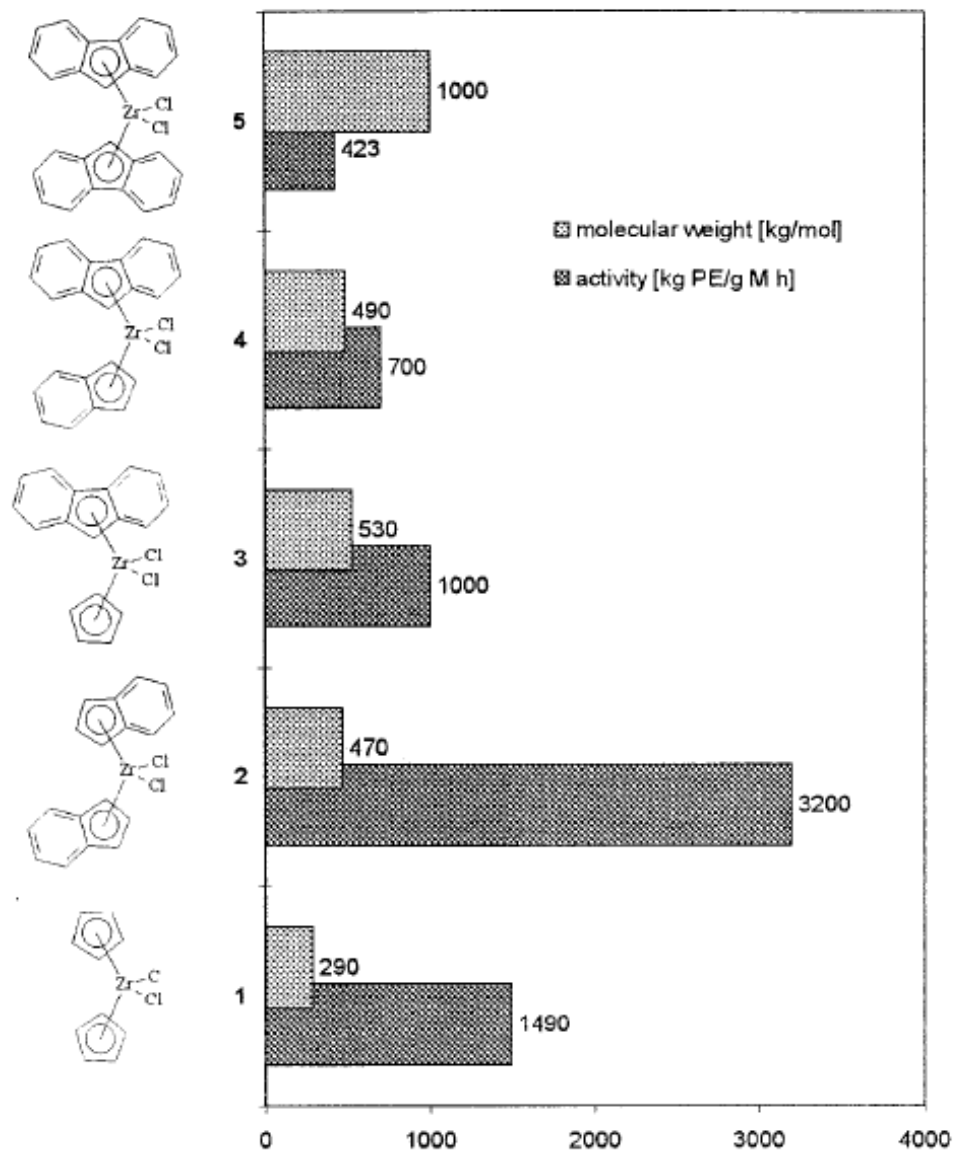


Condizioni di reazione: $T = 90^{\circ}\text{C}$, $P_{\text{etilene}} = 8 \text{ bar}$,
[Al]/[Zr] = 10 000,
solvente = toluene

Produttività: $5 \cdot 10^6 \text{ g PE/g Zr} \cdot \text{h} \cdot \text{bar}$
 $M_n = 122\,000$

T. Masuda, *Catalysis in Precision Polymerisation* **1997**, Ed. Wiley, pg. 18.

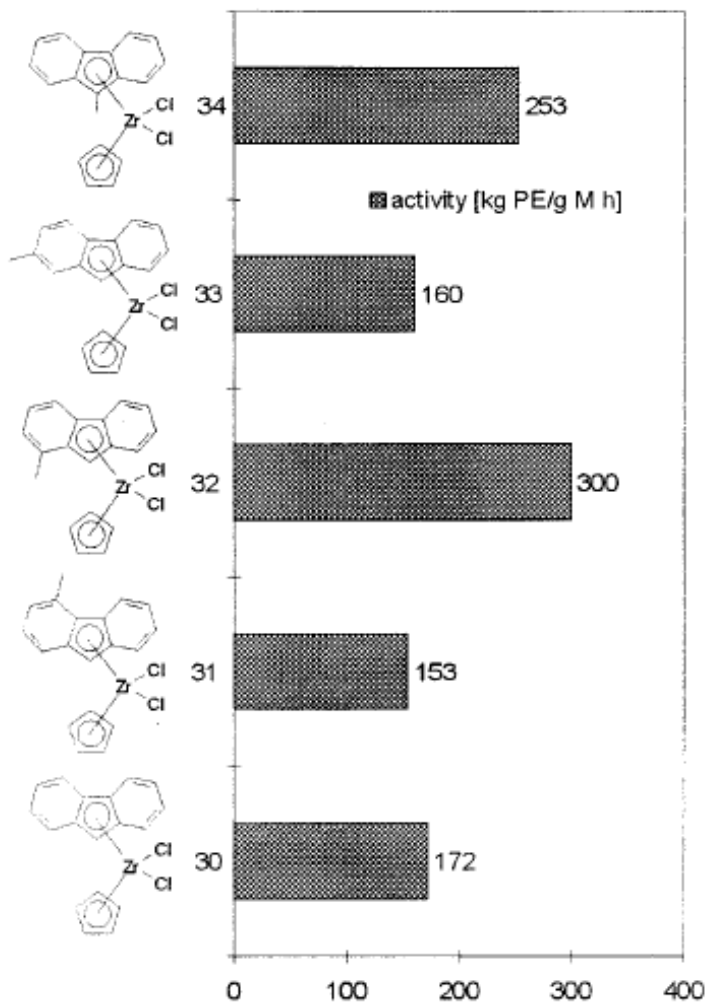
Polimerizzazione dell'etilene: Effetto dell'anello aromatico



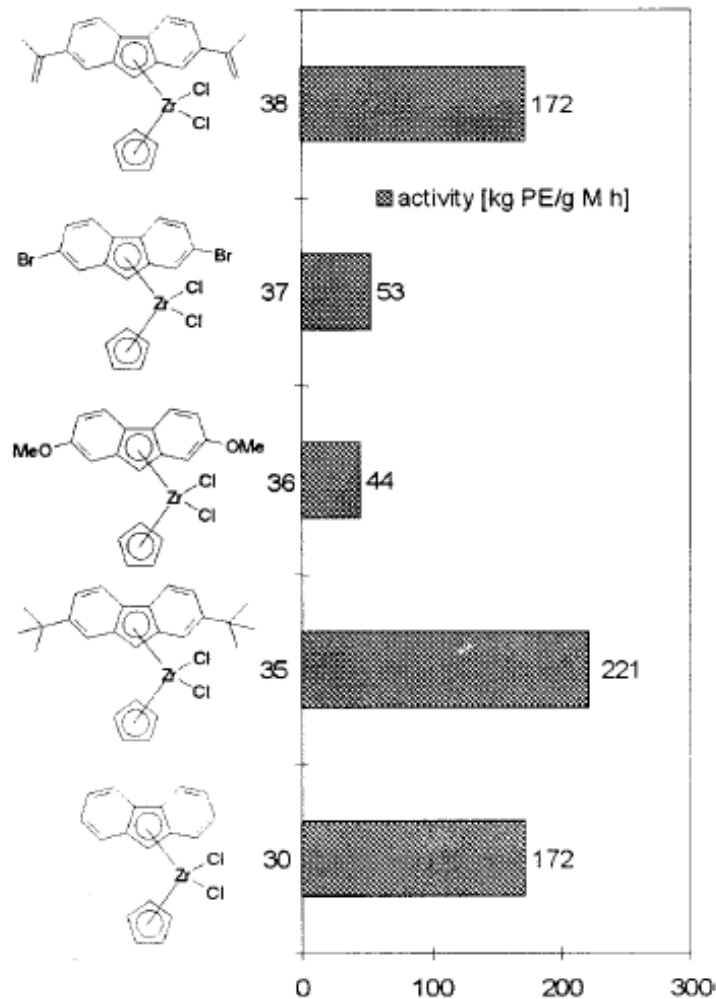
Condizioni di reazione: $T = 60^{\circ}\text{C}$; solvente: *n*-pentano; $P_{\text{etilene}} = 10.0 \text{ bar}$;
Cat. Prec. **1, 2, 4** $[\text{Al}]/[\text{Zr}] = 1000$; Cat. Prec. **3, 5** $[\text{Al}]/[\text{Zr}] = 2500$.

Polimerizzazione dell'etilene

Effetto della **posizione**



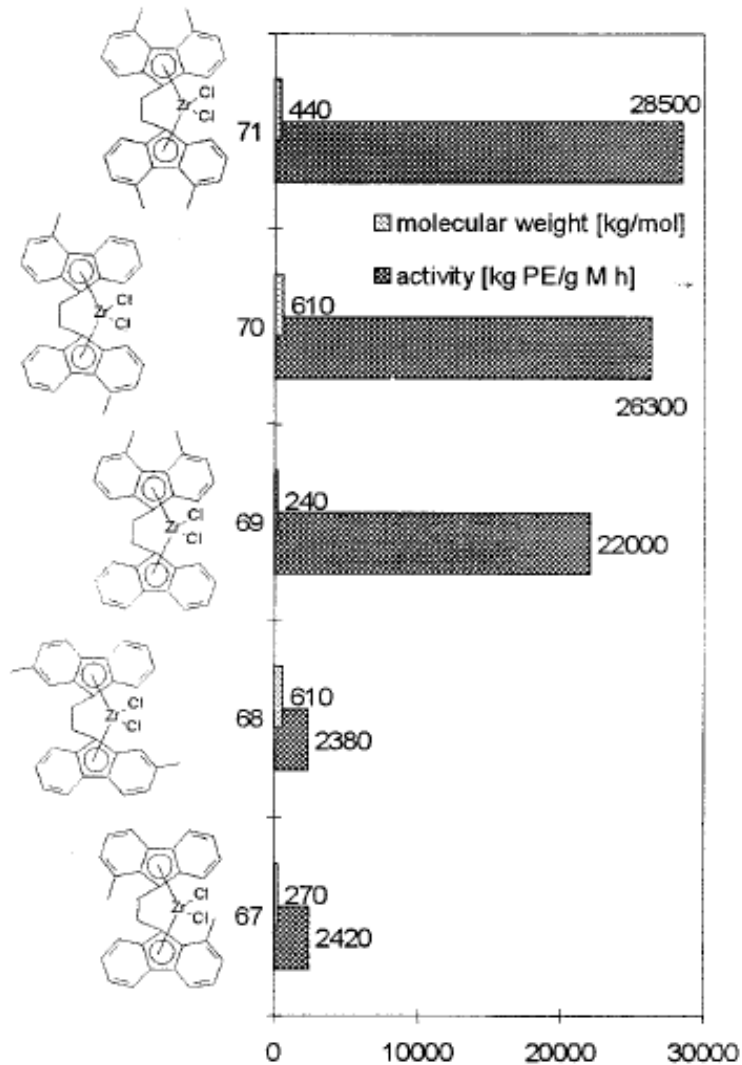
Effetto del **sostituente**



Condizioni di reazione: $T = 10^{\circ}\text{C}$; solvente: *n*-pentano; $P_{\text{etilene}} = 10.0 \text{ bar}$; $[\text{Al}]/[\text{Zr}] = 1000$.

Polimerizzazione dell'etilene

Effetto della **posizione** del sostituito sugli *ansa-metalloeni*

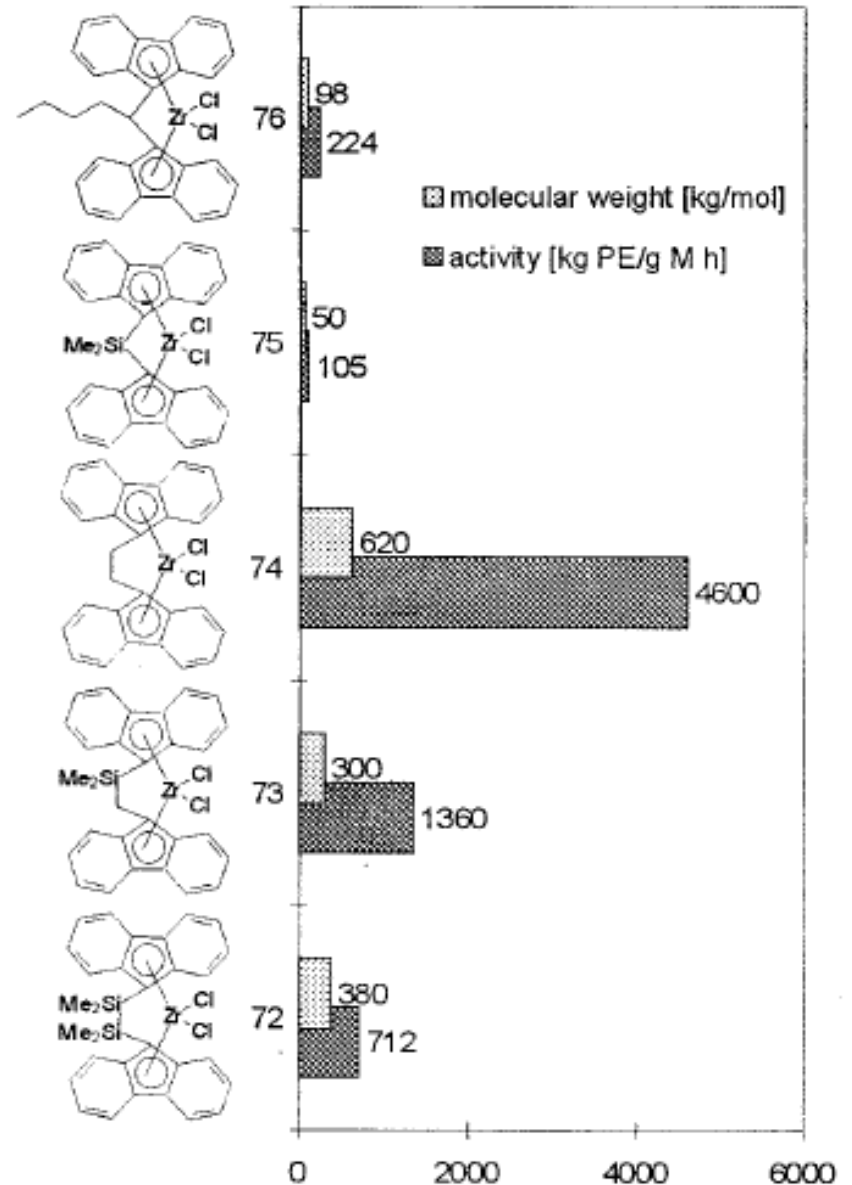
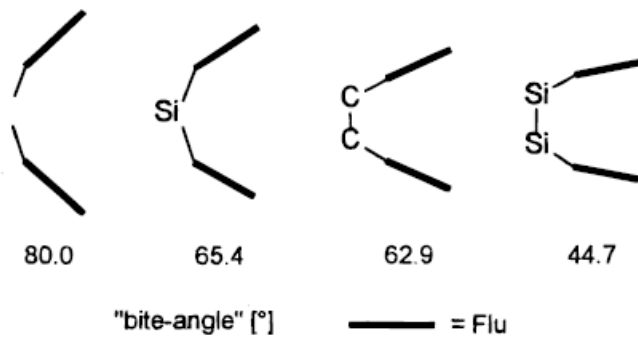


Condizioni di reazione: $T = 60^{\circ}\text{C}$; solvente: *n*-pentano; $P_{\text{etilene}} = 10.0 \text{ bar}$;

$[\text{Al}]/[\text{Zr}] = 20000$.

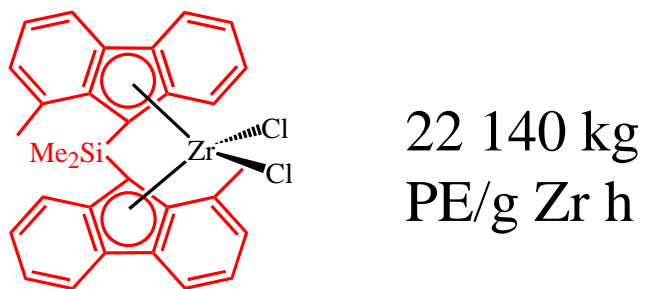
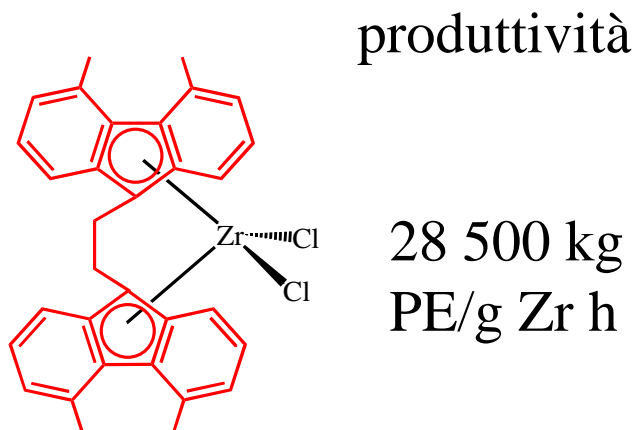
Polimerizzazione dell'etilene

Effetto del bite angle

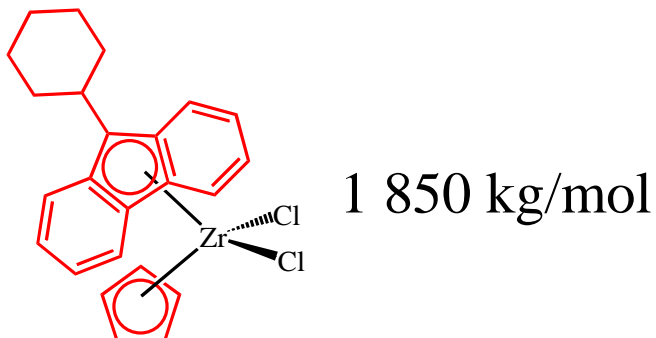
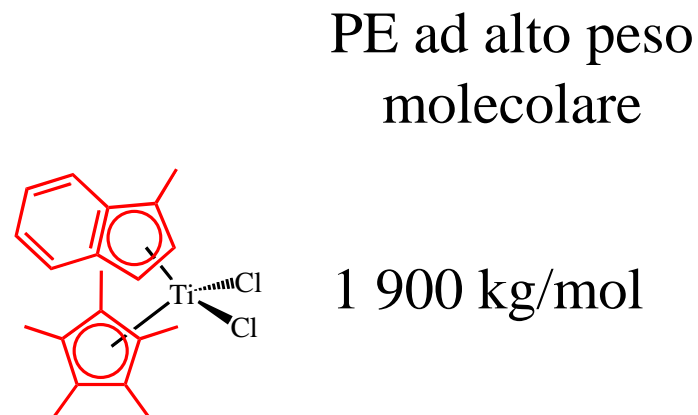


Condizioni di reazione: $T = 60^{\circ}\text{C}$; solvente: *n*-pentano; $P_{\text{etilene}} = 10.0 \text{ bar}$; $[\text{Al}]/[\text{Zr}] = 20000$.

The “TOP FOUR” Catalysts¹

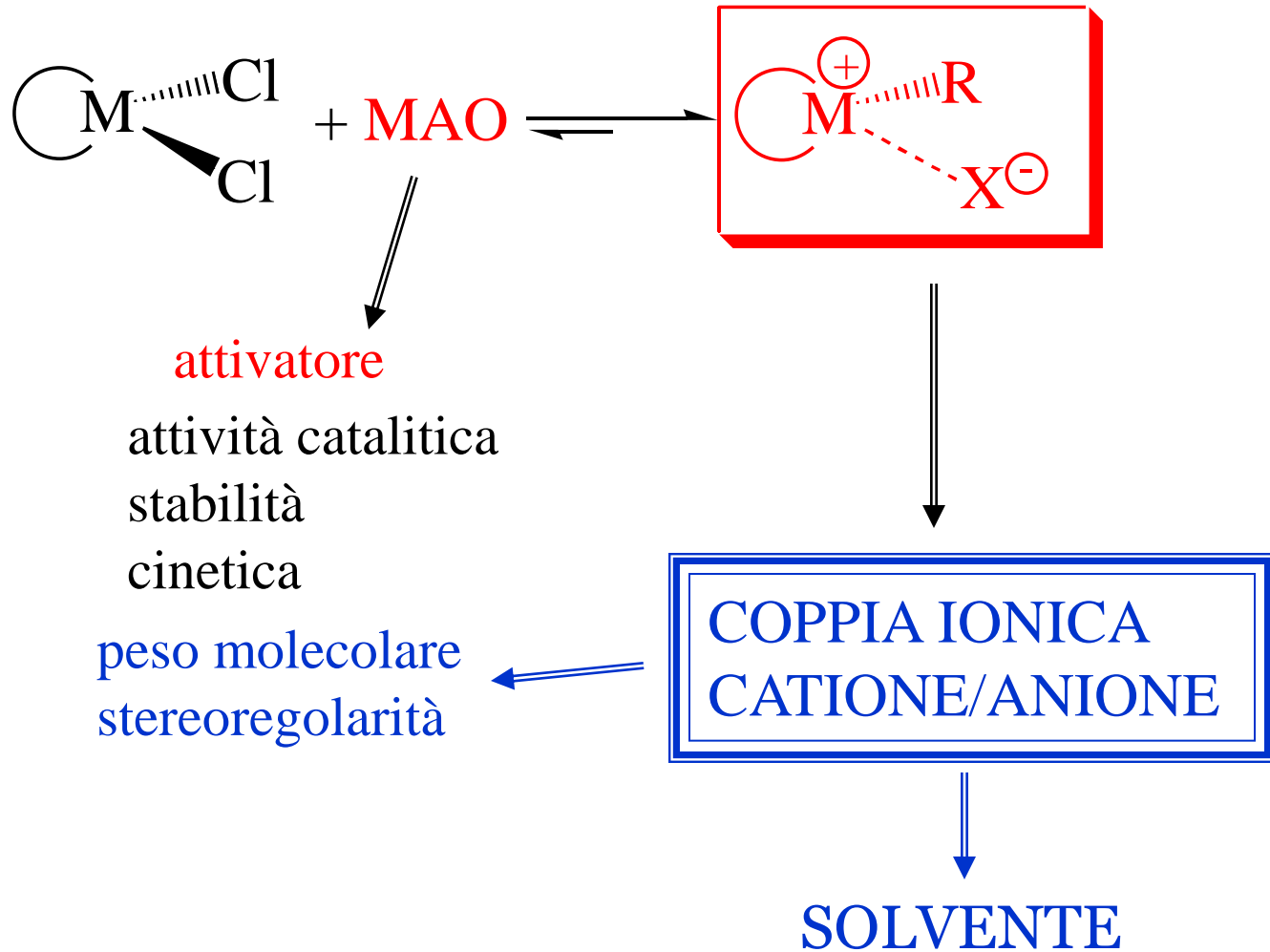


[Al]/[Zr] = 20 000



¹H. G. Alt et al., *Chem. Rev.* **2000**, *100*, 1205.

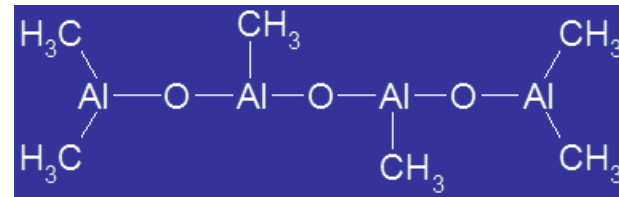
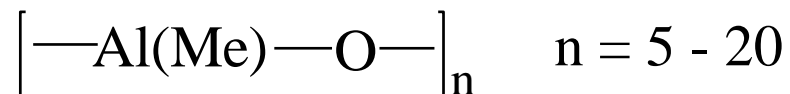
IL MAO¹



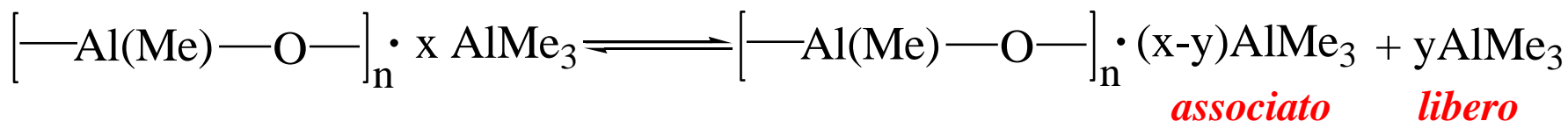
¹T. J. Marks et al., *Chem. Rev.* **2000**, *100*, 1391.

IL MAO¹

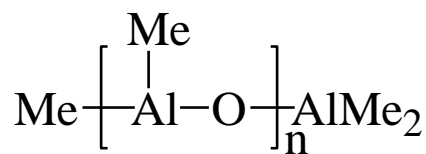
Caratteristiche strutturali



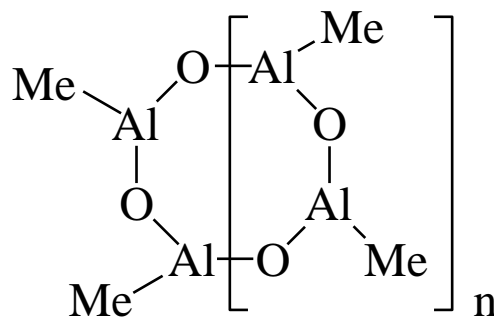
Equilibri multipli:



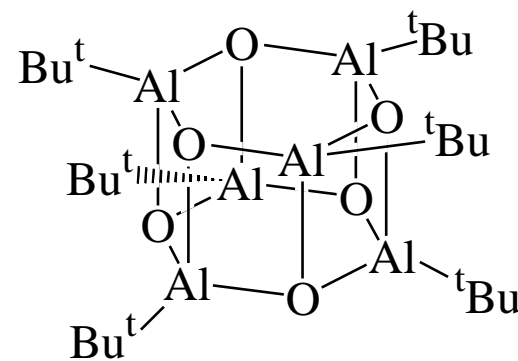
Principali strutture proposte:



lineare



ciclica

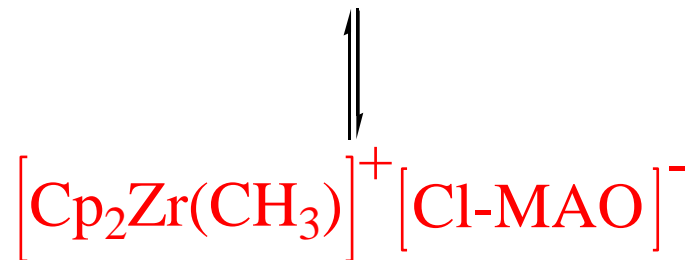
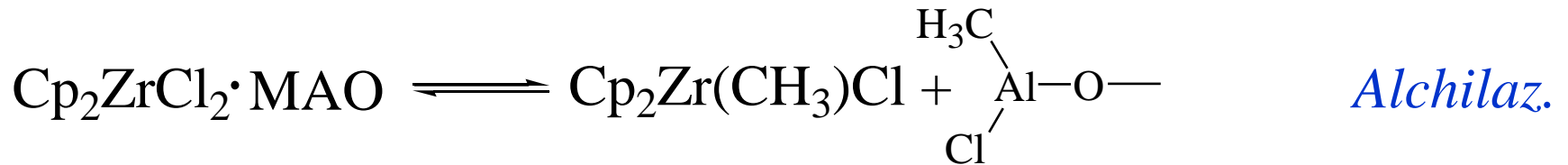


gabbia

¹T. J. Marks et al., *Chem. Rev.* **2000**, *100*, 1391.

IL MAO¹

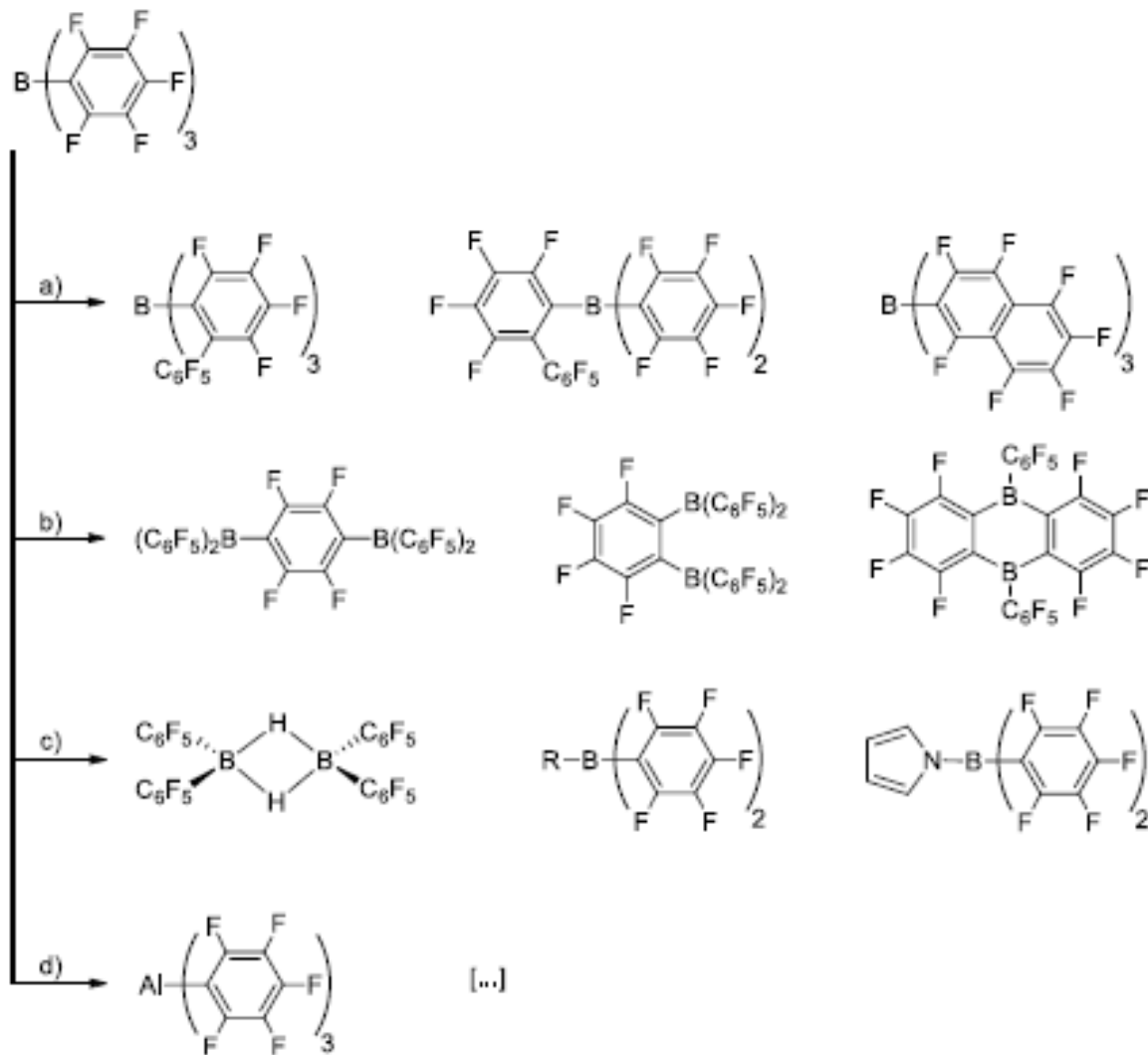
Il processo di attivazione



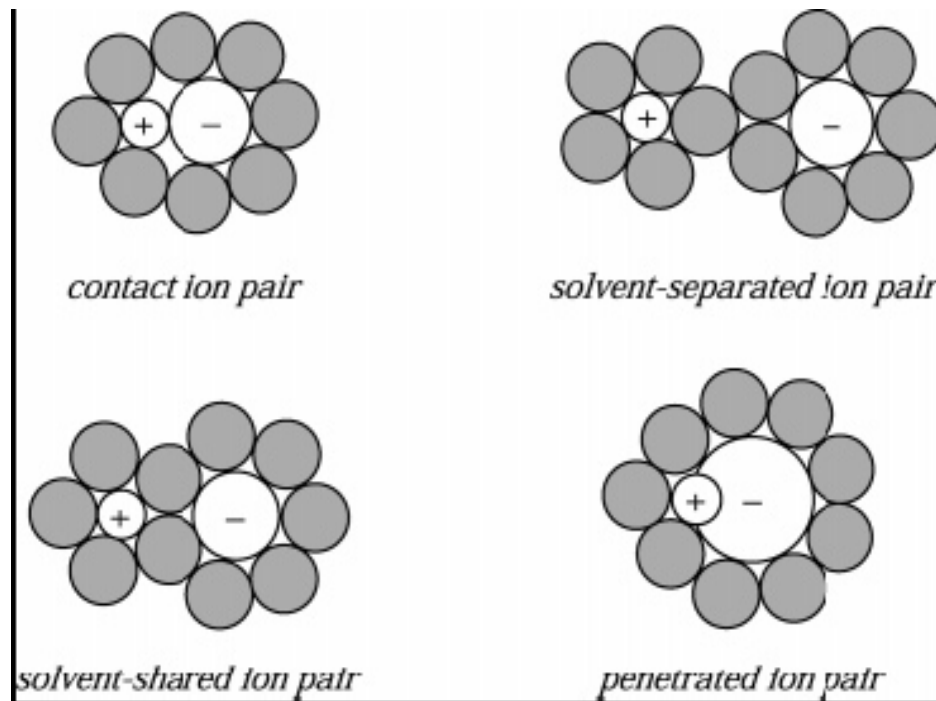
$$\boxed{[\text{Al}]/[\text{Zr}] \geq 1000}$$

¹T. J. Marks et al., *Chem. Rev.* **2000**, *100*, 1391.

Acidi di Lewis come attivatori

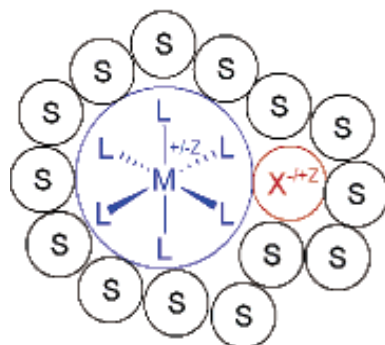


LA COPPIA IONICA¹

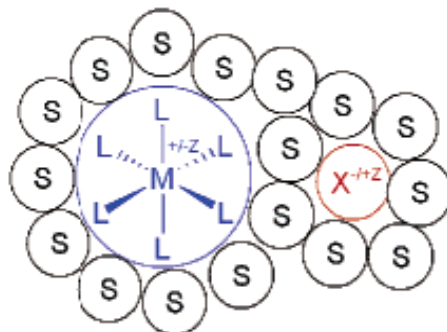


¹A. Macchioni *Chem. Rev.* **2006**, *105*, 2039.

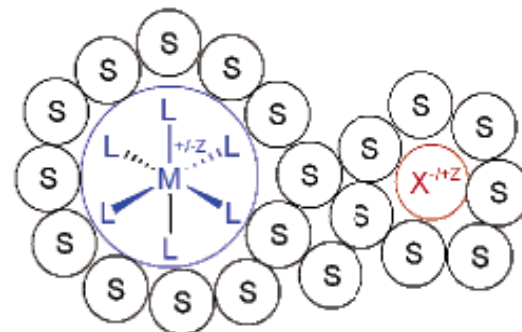
TRANSITION METAL COMPLEX ION PAIRS



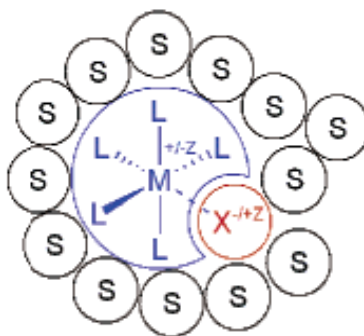
A3 contact (OSIP)



B3 solvent-shared



C3 solvent-separated

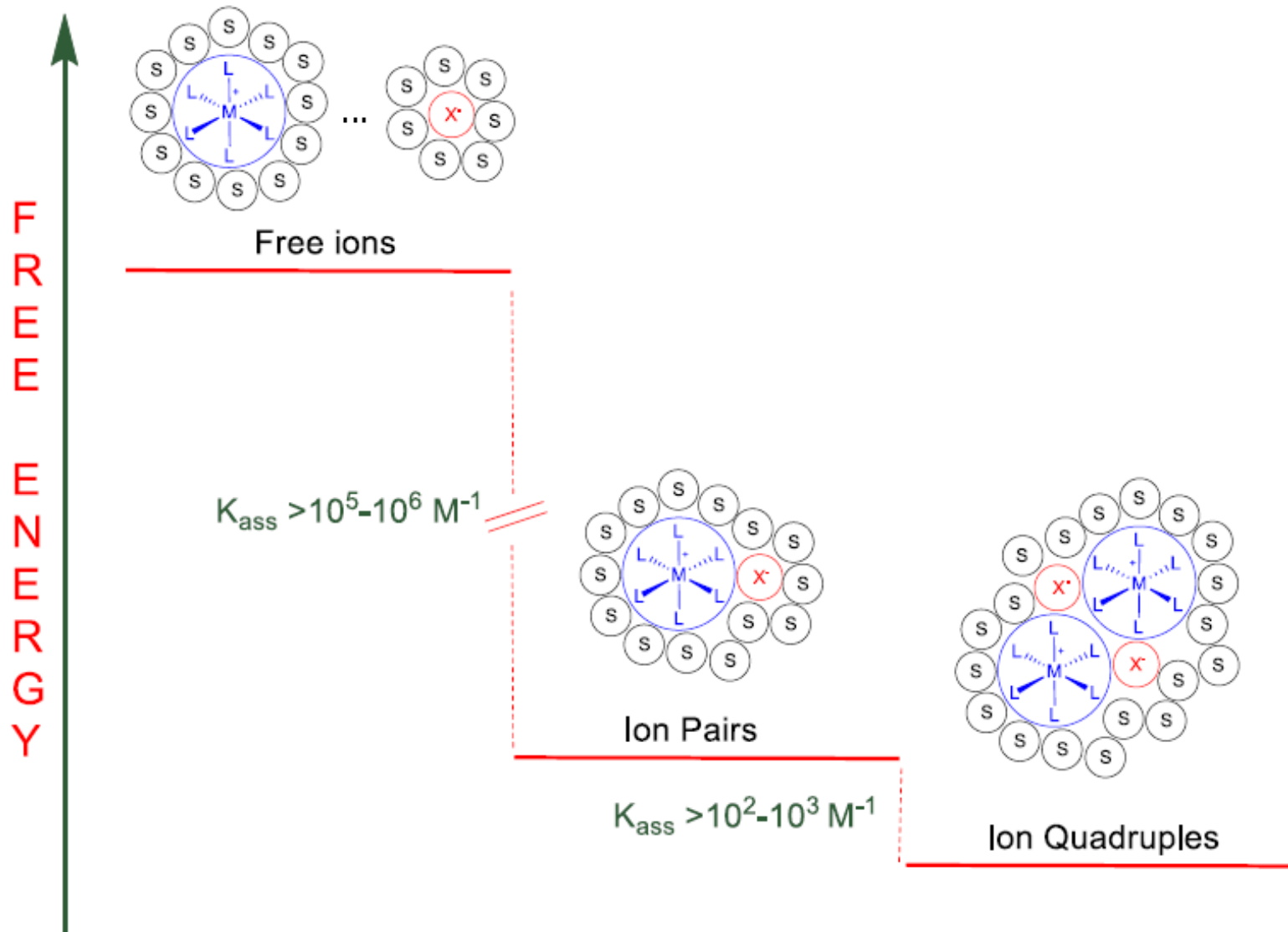


D3 contact (ISIP)

OSIP = OUTER-SPHERE ION PAIR

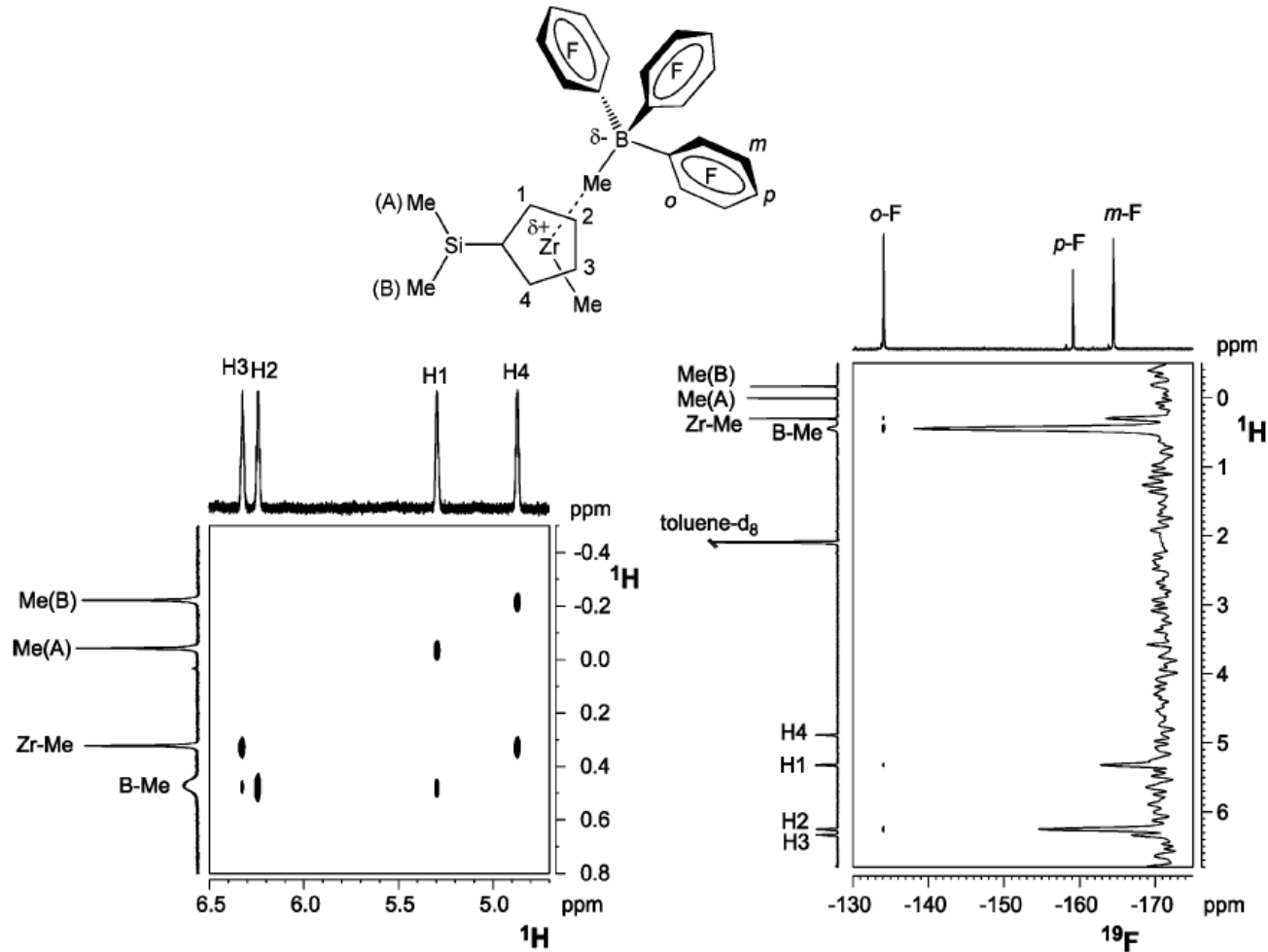
ISIP = INNER-SPHERE ION PAIR

Possibili **coppie ioniche** nelle reazioni di polimerizzazione



Evidenze sperimentali dell'esistenza della **coppia ionica**

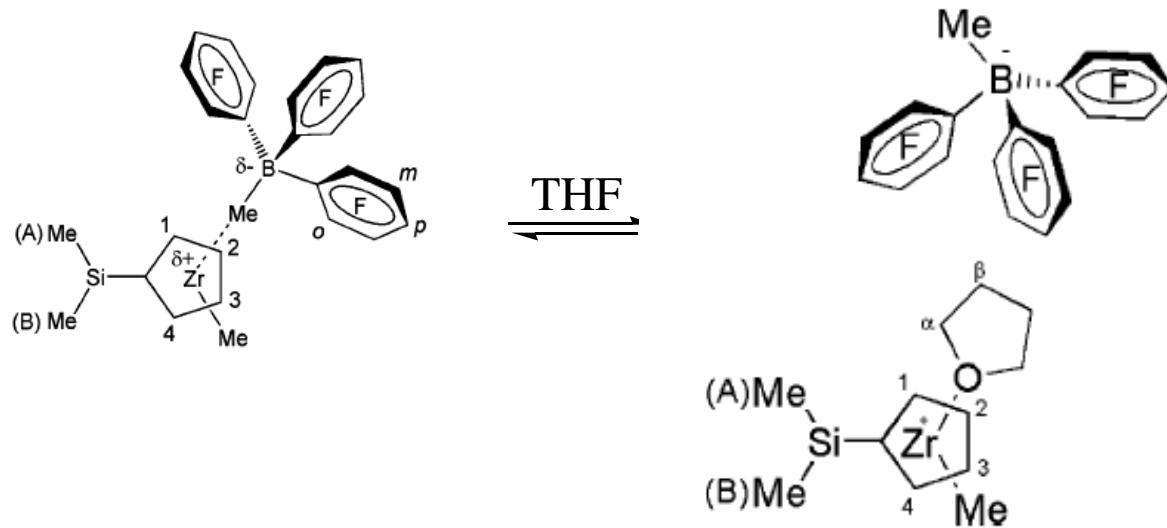
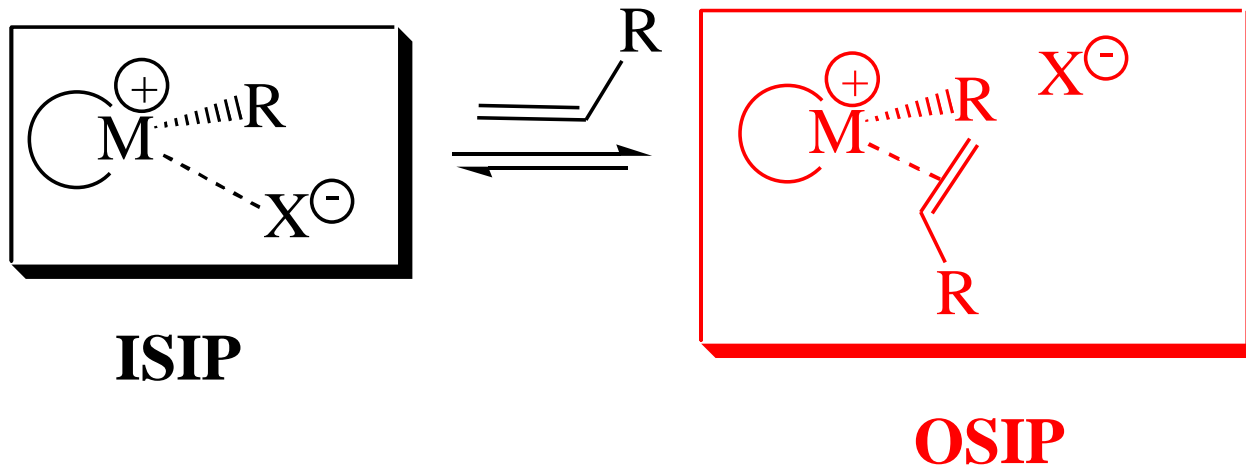
Spettroscopia NMR in soluzione



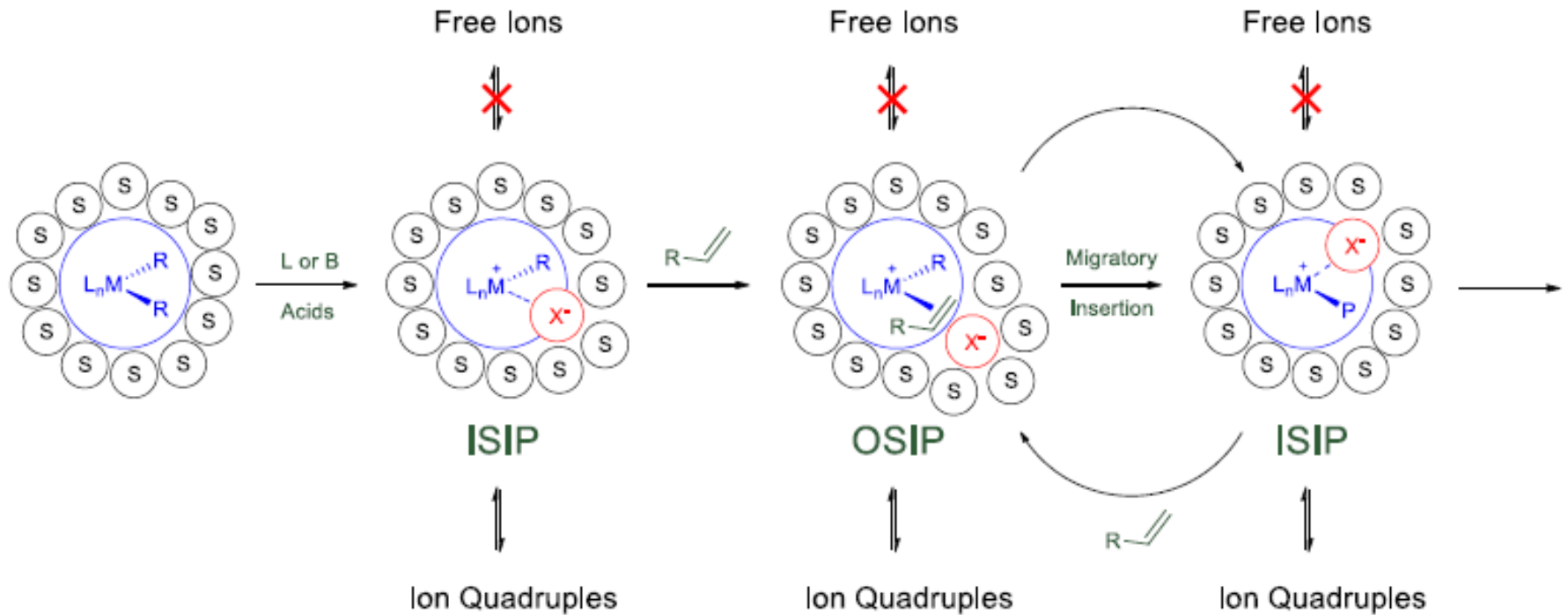
^1H -NOESY

^{19}F , ^1H -HOESY

Meccanismo per lo stadio di crescita della catena polimerica

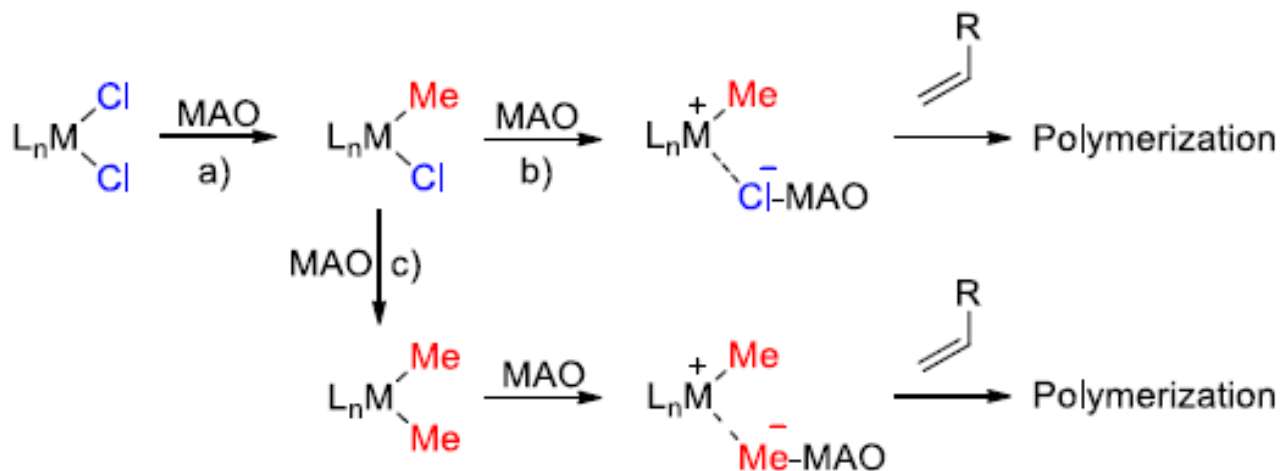


Meccanismo per attivazione e crescita della catena polimerica

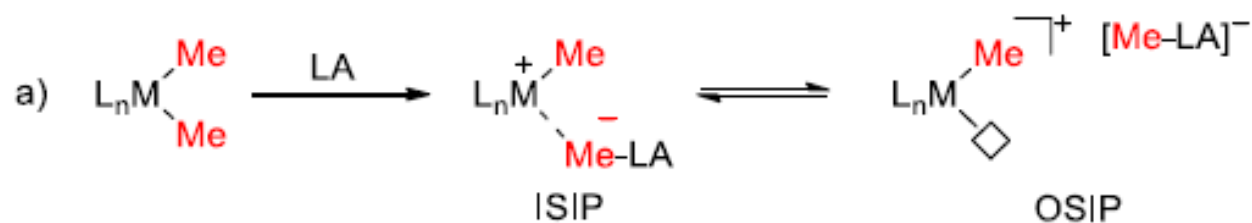


Il processo di attivazione

Ad opera del MAO

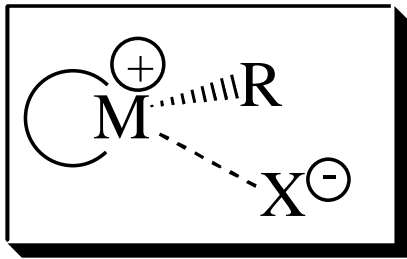


Ad opera dei borani



Effetto della **coppia ionica** nelle reazioni di polimerizzazione

- ❖ il sistema catalitico è a **due componenti**: il **precatalizzatore** che è il **composto organometallico metallocenico** e l'**attivatore** che è il **composto organometallico di Al o di B**;
- ❖ i due componenti reagiscono originando la **coppia ionica**:



è il *resting state* del ciclo catalitico

ISIP

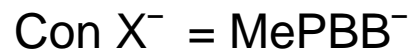
Effetto dell'**anione** nelle reazioni di polimerizzazione

L'attività catalitica aumenta al diminuire del potere coordinante dell'anione.



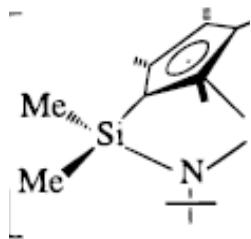
se $M = \text{Zr}$: **sistema inattivo**

se $M = \text{Ti}$: **sistema leggermente attivo**

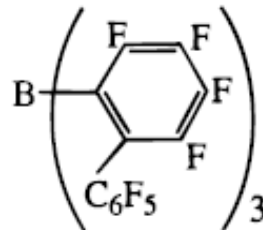


se $M = \text{Zr}$: **sistema attivo: $v = 10^5$**

se $M = \text{Ti}$: **sistema 70 volte più attivo**



CGC



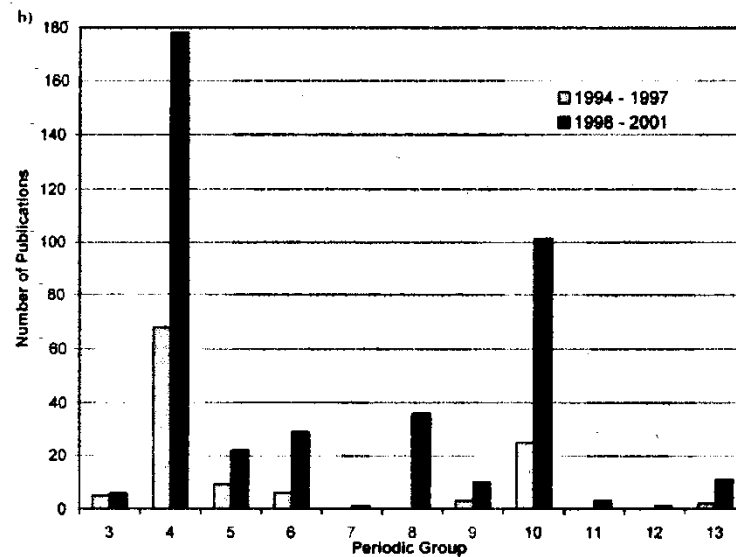
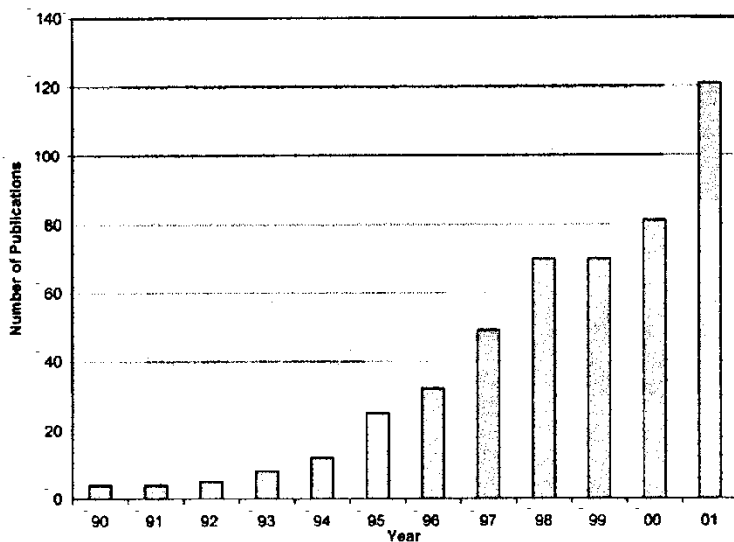
PBB

Limiti dei catalizzatori metallocenici¹

- ❖ Vengono facilmente **avvelenati** da composti contenenti eteroatomi;
- ❖ sono **molto costosi** e vengono preparati in un processo a più stadi;
- ❖ il **MAO** viene usato in grande eccesso rispetto al metallo, pertanto è un componente importante nella definizione del costo finale del prodotto.

¹P. Chen et al., *Helv. Chim. Acta* **2002**, 85, 4337.

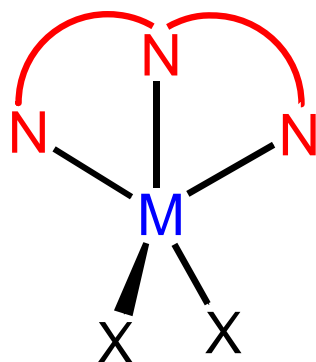
Numero di pubblicazioni sui catalizzatori NON metalloceNICI¹



¹V. Gibson et al., *Chem. Rev.* **2003**, *103*, 283.

Leganti tridentati bis(imminici) per la polimerizzazione dell'etilene

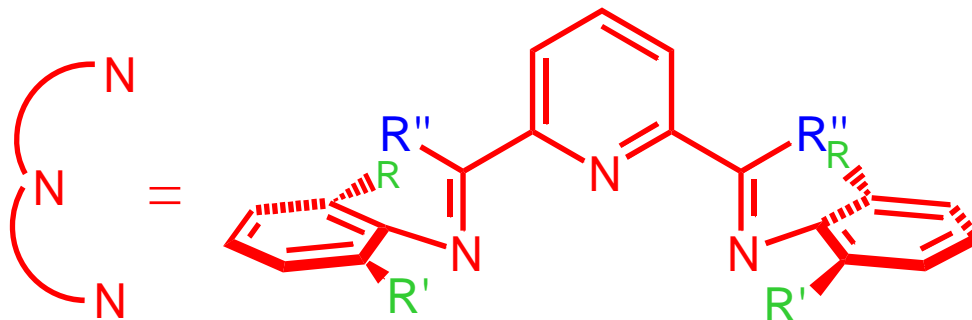
Catalizzatori di Fe(II) e Co(II)



+ MAO

Polietilene lineare ad alta densità

VERSIPOL (Du Pont)



PBI

R = H R' = Ph

Solvente: toluene

T = 25 – 90°C

t = 15 – 180 min.

p = 14 – 42 atm

R = H R' = C(CH₃)₃

R = R' = HC(CH₃)₂

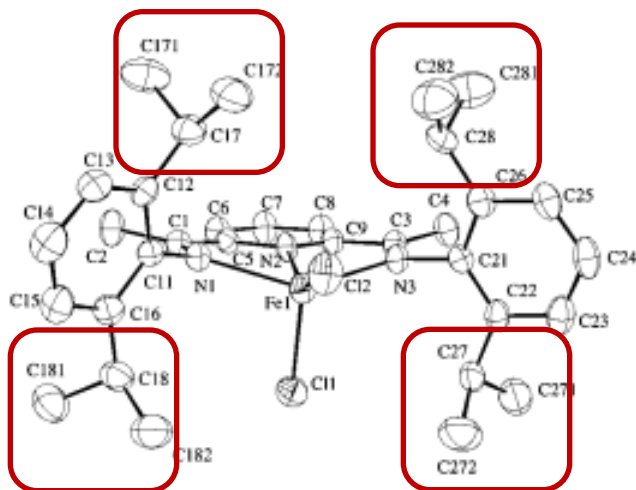
M. Brookhart et al. *J. Am. Chem. Soc.* **1998**, *120*, 4049.

V. C. Gibson et al. *Chem. Commun.* **1998**, 849.

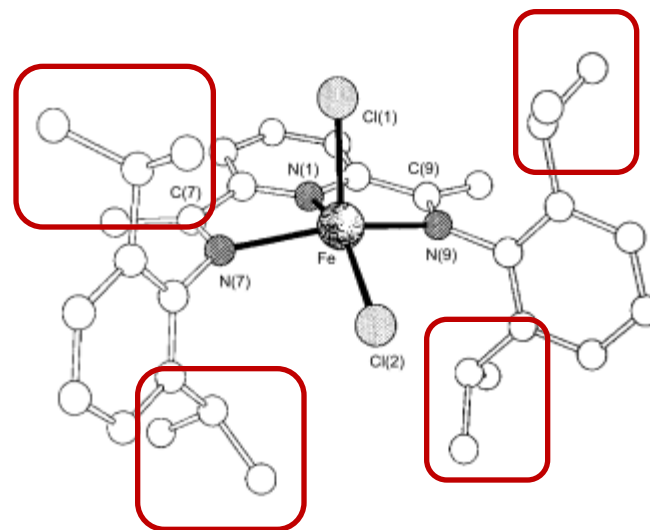
S. D. Ittel, L.K. Johnson, M. Brookhart *Chem. Rev.* **2000**, *100*, 1169.

V. C. Gibson, S. K. Spitzmesser *Chem. Rev.* **2003**, *103*, 283.

Crystal structure of [Fe((2,6-i-Pr-Ph)₂PBIME₂)Cl₂]



B. L. Small, M. Brookhart, A. M. A. Bennett J. Am. Chem. Soc. **1998**, 120, 4049.



G. J. P. Britovsek, V. C. Gibson, B. S. Kimberley, P. J. Maddox, S. J. McTavish, G. A. Solan, A. J. P. White, D. J. Williams Chem. Commun. **1998**, 849.

Both complexes have a **pseudo-square-pyramidal** geometry with the **aryl rings** nearly **perpendicular** to the square plane.

They are paramagnetic, high-spin complexes.

Polimerizzazione dell'etilene con catalizzatori di Fe(II) e Co(II)¹

Effetto della pressione di etilene

Prec. Cat.: $[MCl_2((2,6-i-PrPh)_2PBIH_2)]$

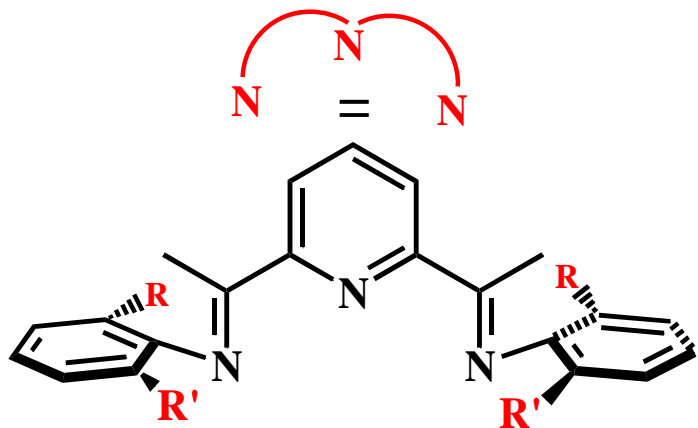
M	P _{etilene} (atm)	kg PE/g M h
Co	7	140
	41	140
Fe	7	1860
	41	4220
	340	11900

¹S. D. Ittel et al., *Chem. Rev.* **2000**, *100*, 1169.

Polimerizzazione dell'etilene con catalizzatori di Fe(II) e Co(II)¹

Effetto del legante azotato

Prec. Cat.: [CoCl₂(PBI)]

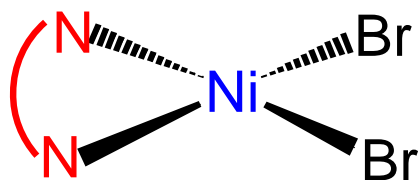


PBI	M _w
(2-PhPh) ₂ PBIME ₂	α-olefine
(2- <i>t</i> -BuPh) ₂ PBIME ₂	31 000
(2,6- <i>i</i> -PrPh) ₂ PBIME ₂	46 000
(2,6- <i>i</i> -PrPh) ₂ PBIH ₂	18 000

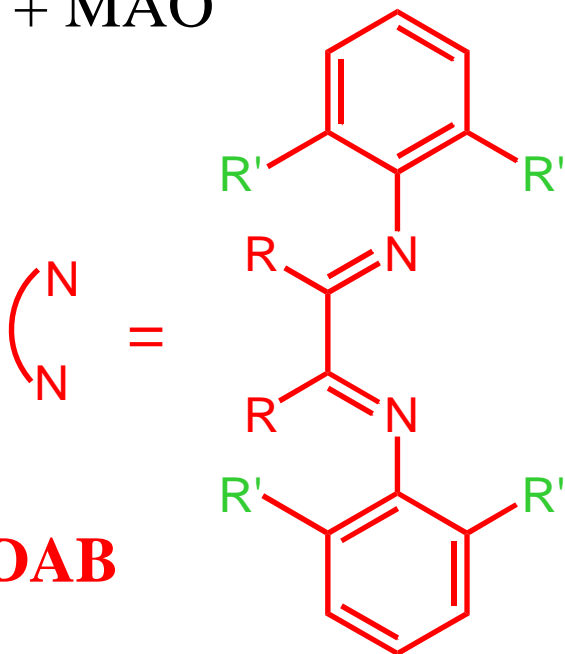
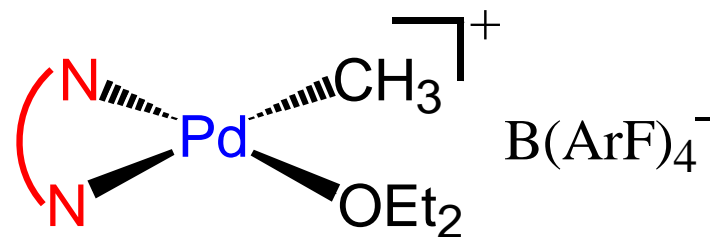
¹S. D. Ittel et al., *Chem. Rev.* **2000**, *100*, 1169.

Leganti bidentati α -diiminici per la sintesi del polietilene

Catalizzatori di Ni(II) e Pd(II)



+ MAO



R = H, CH₃

R' = H, CH₃, HC(CH₃)₂

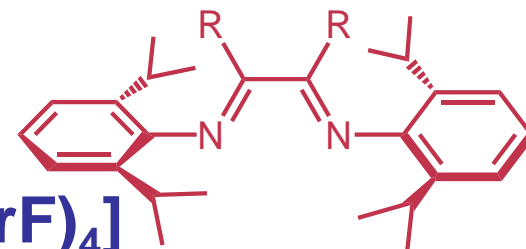
VERSIPOL (Du Pont)

¹M. Brookhart et al., *J. Am. Chem. Soc.* **1995**, *117*, 6414.

²S. D. Ittel et al., *Chem. Rev.* **2000**, *100*, 1169.

Ethylene polymerization with **Pd(II)** catalysts

Effect of **precatalyst**



Cat. Prec.: [**PdMe(OEt₂)(i-Pr-DABR)**][**B(ArF)₄**]

R	Yield (g)	kg PE/mol Pd h	Mw (Mw/Mn)	Branches per 1000 carbons
H^a	9.07	4.0	600 (3.0)	116
Me^b	45.3	26.6	29000 (3.9)	103

Reaction conditions: $n_{\text{cat}} = 100 \mu\text{mol}$, $P = 1.0 \text{ atm}$, $T = 25 \text{ }^\circ\text{C}$.

^aCH₂Cl₂ $V = 50 \text{ mL}$, $t = 24 \text{ h}$.

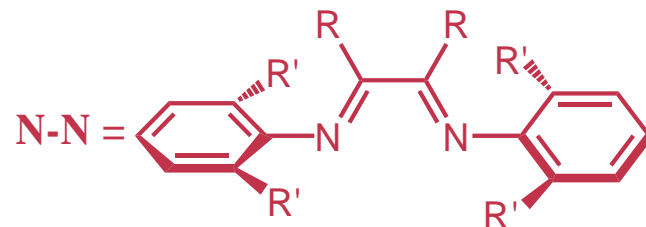
^bCH₂Cl₂ $V = 100 \text{ mL}$, $t = 17 \text{ h}$.

L. K. Johnson, C. M. Killian, M. Brookhart *J. Am. Chem. Soc.* **1995**, 117, 6414.

Ethylene polymerization with **Ni(II)** catalysts

Effect of **precatalyst**

Cat. Prec.: [**NiBr₂(N-N)**]

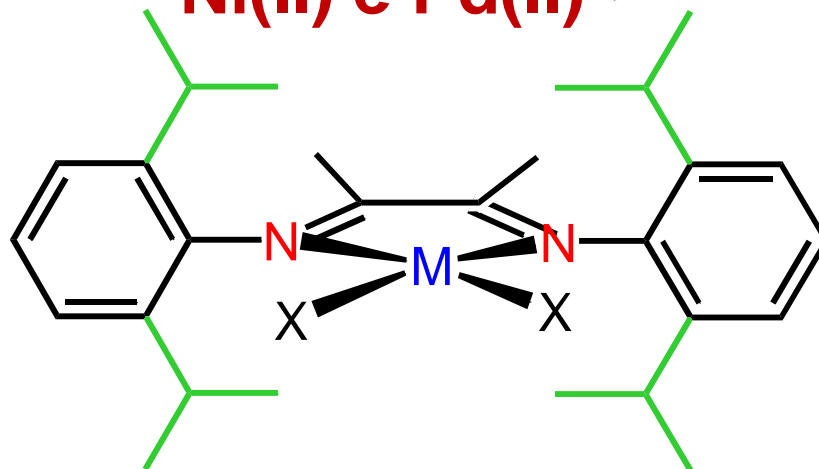


R, R'	mol cat.	t (min)	kg PE/mol Ni h	Mw (Mw/Mn)	Branches
H, i-Pr^a	1.7 x 10⁻⁶	15	1.1 x 10⁴	31000 (2.5)	38
Me, i-Pr	1.6 x 10⁻⁶	15	0.3 x 10⁴	520000 (1.6)	48
H, Me	17 x 10⁻⁶	30	0.04 x 10⁴	43000 (2.5)	1.2
Me, Me	17 x 10⁻⁶	10	0.17 x 10⁴	170000 (2.6)	20
BIAN, i-Pr^b	0.83 x 10⁻⁶	30	0.51 x 10⁴	610000 (2.3)	5.0

Reaction conditions: toluene V = 100 mL, P = 1.0 atm, T = 0 °C. ^aT = 25 °C. ^bV = 200 mL.

The activity of **i-Pr-DABH** is comparable to those of the most active Ziegler-Natta systems!

Polimerizzazione dell'etilene con catalizzatori di **Ni(II) e Pd(II)^{1,2}**



M = Ni

Solvente: toluene

11 000 kg PE/mol Ni h

$\Delta G_{\text{ins}} = 13 - 14 \text{ kcal/mol}$

$M_w = \text{oligomeri} - 85\ 000$

PE lineare e ramificato

M = Pd

Solvente: CH_2Cl_2

27 kg PE/mol Pd h

$\Delta G_{\text{ins}} = 17 - 18 \text{ kcal/mol}$

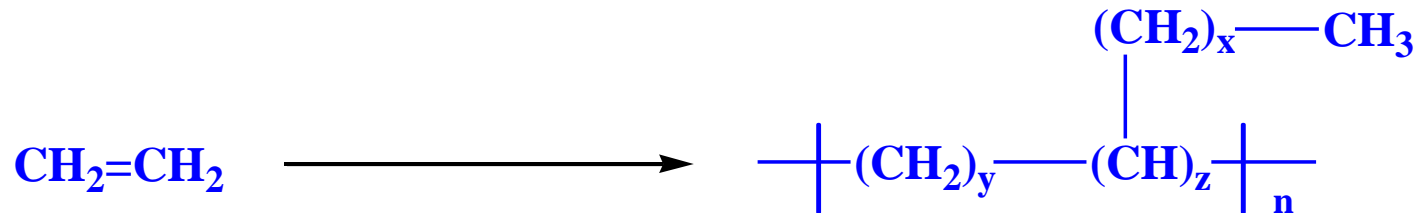
$M_w = 112\ 000 - 1\ 000\ 000$

PE altamente ramificato

¹M. Brookhart et al., *J. Am. Chem. Soc.* **1995**, *117*, 6414.

²S. D. Ittel et al., *Chem. Rev.* **2000**, *100*, 1169.

Polimerizzazione dell'etilene con catalizzatori di Ni(II) e Pd(II): *microstruttura* del polietilene prodotto



con i cat. di Pd(II) si hanno	{	C1	37
115 ramificazioni ogni		C2	25
1000 gruppi CH ₂ inseriti		C3	3
		C4	12
		C5	1
		C6+	37

Polymerization Mechanism

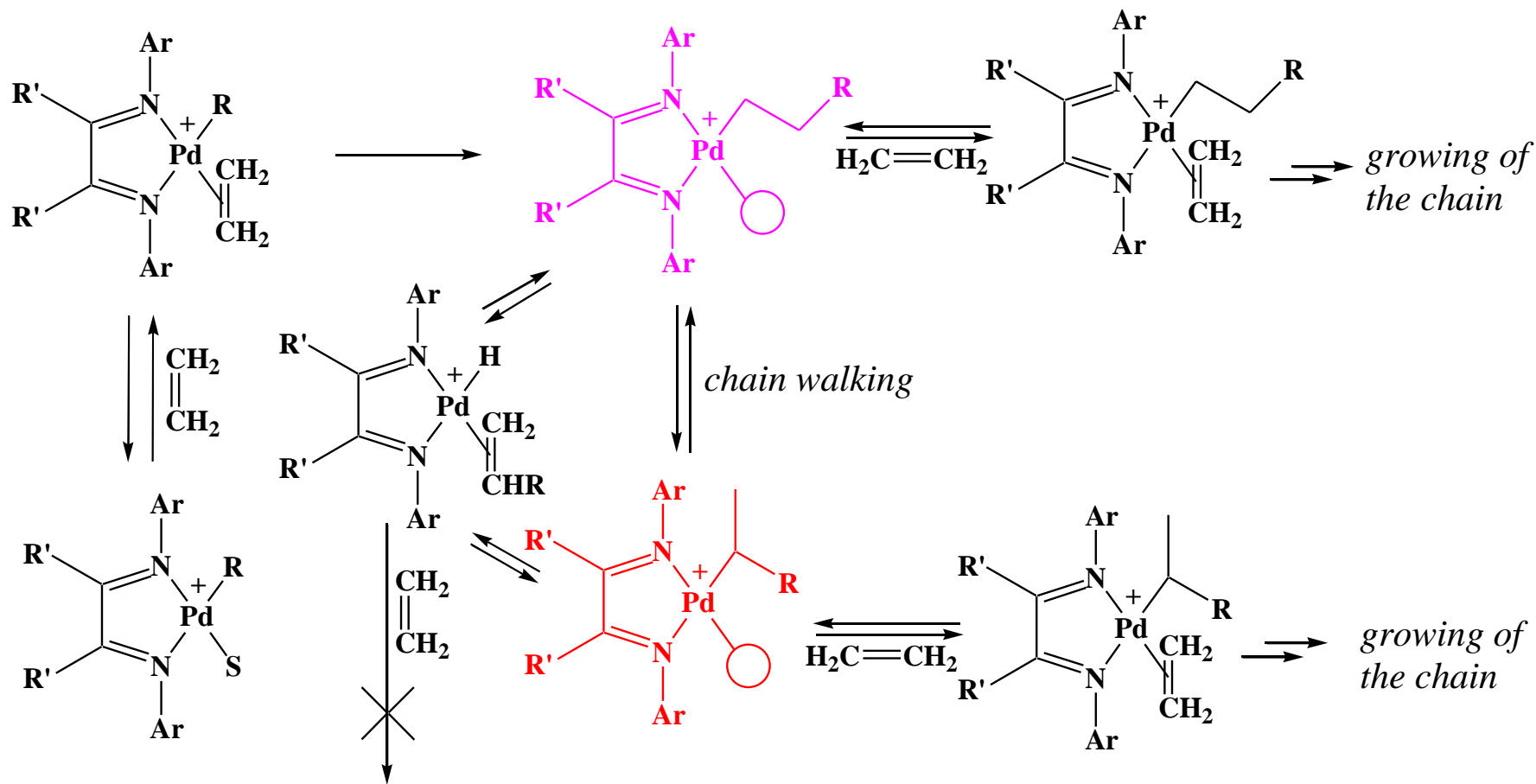
NMR spectroscopy was fundamental to unravel the mechanism of the polymerization. Key intermediates were detected and kinetic investigations were performed, thus:

- the reaction was found to be **zero order** in ethylene pressure;
- the **Pd-alkyl-ethylene** intermediate was recognized to be the catalyst resting state;
- **ethylene insertion** was the rate determining step.

L. K. Johnson, C. M. Killian, M. Brookhart J. Am. Chem. Soc. **1995**, 117, 6414.

S. D. Ittel, L.K. Johnson, M. Brookhart Chem. Rev. **2000**, 100, 1169.

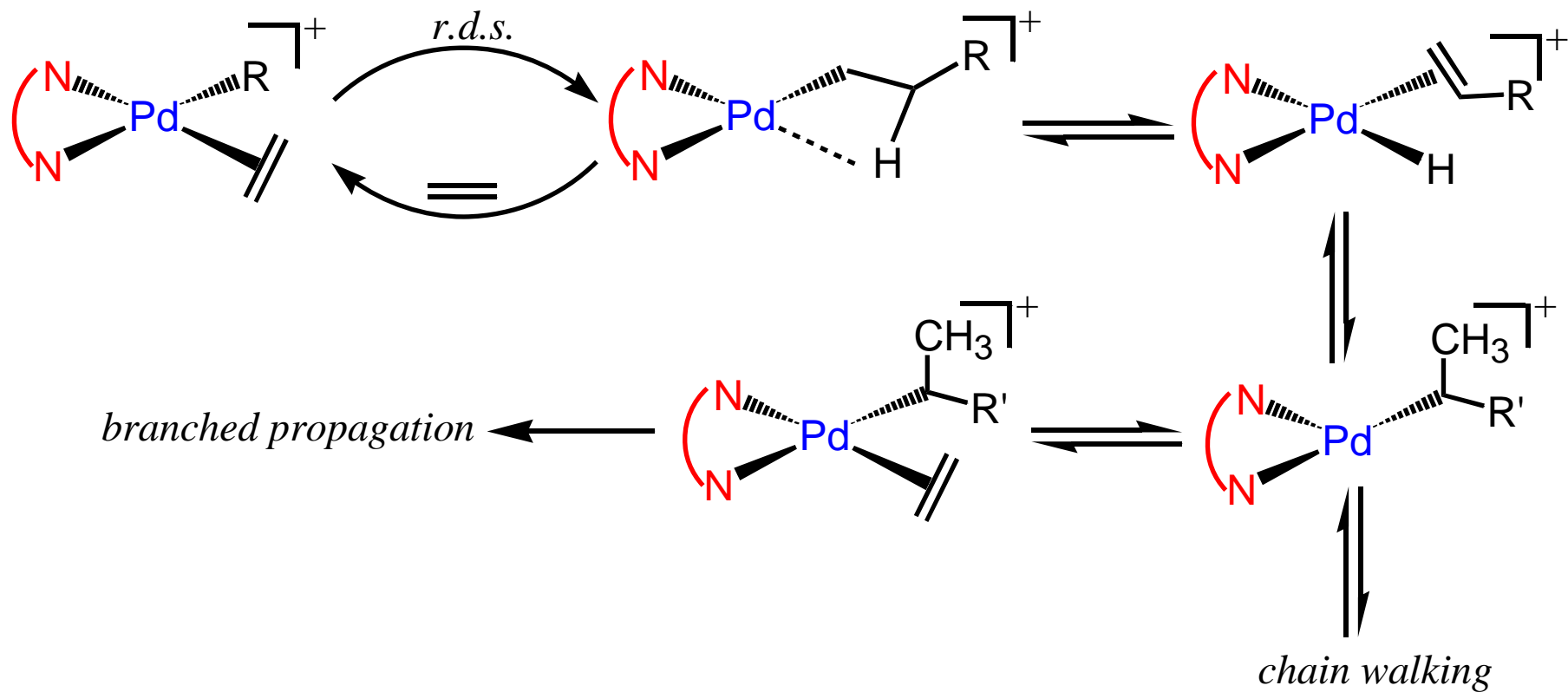
Polymerization Mechanism



¹M. Brookhart et al., *J. Am. Chem. Soc.* **1995**, *117*, 6414.

²S. D. Ittel et al., *Chem. Rev.* **2000**, *100*, 1169.

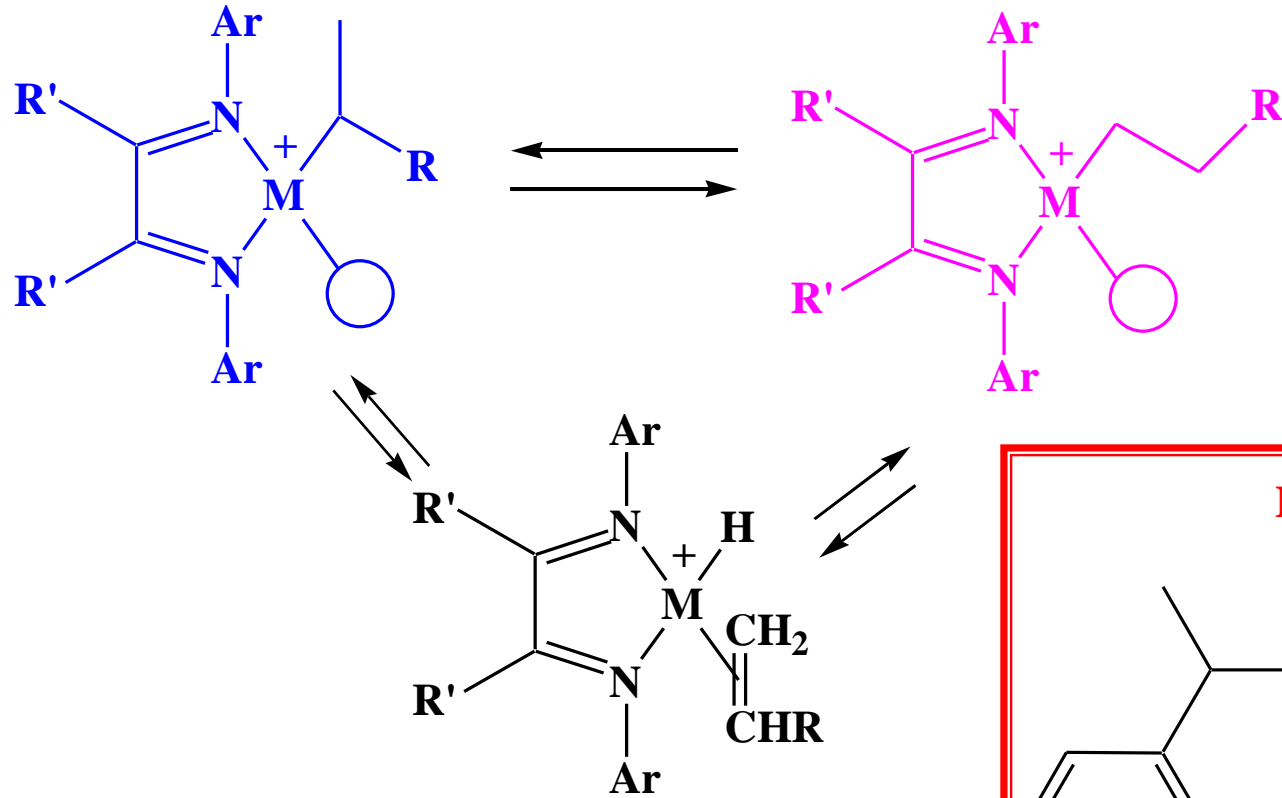
Polymerization Mechanism



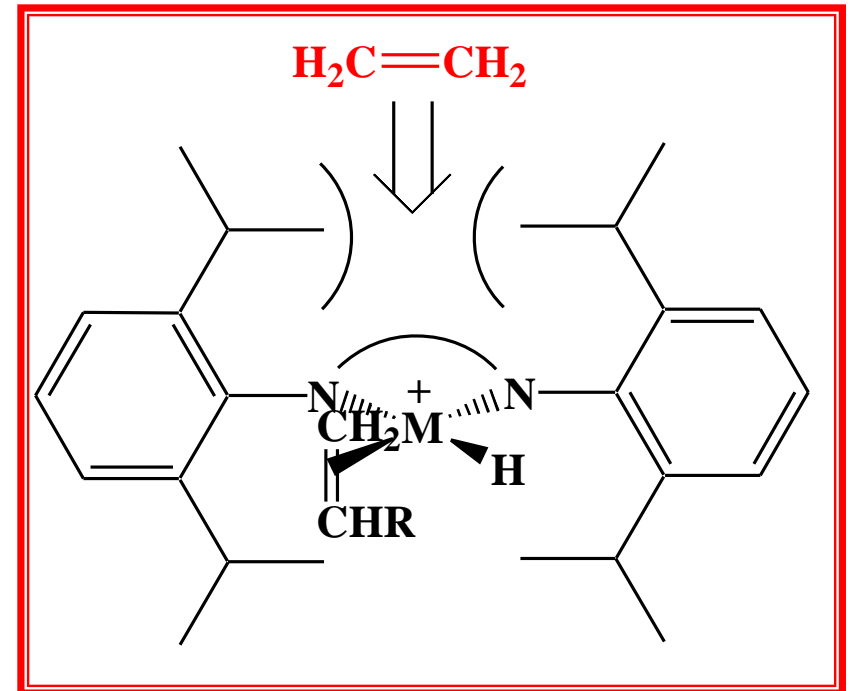
¹M. Brookhart et al., *J. Am. Chem. Soc.* **1995**, *117*, 6414.

²S. D. Ittel et al., *Chem. Rev.* **2000**, *100*, 1169.

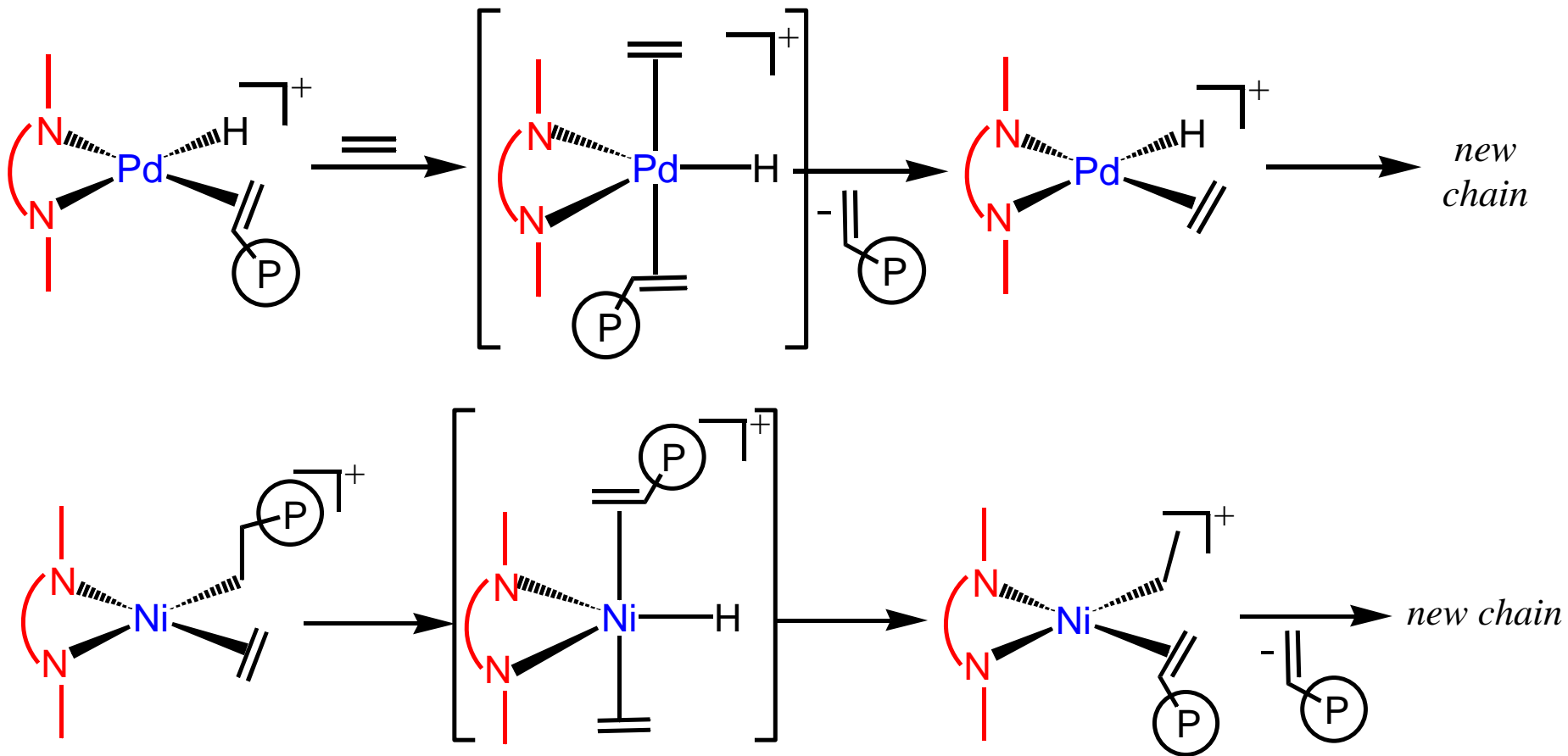
Meccanismo del **trasferimento di catena**



... è di tipo **associativo**,
ed è sfavorito
dall'**ingombro sterico**!



Meccanismo del **trasferimento di catena**



¹M. Brookhart et al., *J. Am. Chem. Soc.* **1995**, *117*, 6414.

²S. D. Ittel et al., *Chem. Rev.* **2000**, *100*, 1169.